

ZÁPADOČESKÁ UNIVERZITA V PLZNI

FAKULTA STROJNÍ

Studijní program: B 2301 Strojní inženýrství

Studijní zaměření: Stavba výrobních strojů a zařízení

BAKALÁŘSKÁ PRÁCE

Přímé pohony v konstrukci mechanických lisů

Autor: **Petr KURIL**

Vedoucí práce: **Doc. Ing. Jan Hlaváč, Ph.D.**

Akademický rok 2013/2014

Prohlášení o autorství

Předkládám tímto k posouzení a obhajobě bakalářskou práci, zpracovanou na závěr studia na Fakultě strojní Západočeské univerzity v Plzni.

Prohlašuji, že jsem tuto bakalářskou práci vypracoval samostatně, s použitím odborné literatury a pramenů, uvedených v seznamu, který je součástí této bakalářské práce.

V Plzni dne:

.....

podpis autora

ZÁPADOČESKÁ UNIVERZITA V PLZNI

Fakulta strojní

Akademický rok: 2013/2014

ZADÁNÍ BAKALÁŘSKÉ PRÁCE

(PROJEKTU, UMĚLECKÉHO DÍLA, UMĚLECKÉHO VÝKONU)

Jméno a příjmení: **Petr KURIL**
Osobní číslo: **S13B0049P**
Studijní program: **B2301 Strojní inženýrství**
Studijní obor: **Stavba výrobních strojů a zařízení**
Název tématu: **Přímé pohony v konstrukci mechanických lisů**
Zadávací katedra: **Katedra konstruování strojů**

Z á s a d y p r o v y p r a c o v á n í :

Základní požadavky:

V úvodu práce bude provedena rešerše na téma mechanické lisy s přímým pohonem. V práci budou vypracovány varianty konstrukčních řešení mechanických lisů s přímým pohonem. Pro vybranou variantu bude zpracováno konstrukční řešení včetně jeho ověření. Na závěr práce bude vypracována výkresová dokumentace vybraných dílů.

Základní technické údaje:

Technické parametry jsou uvedeny v příloze zadání.

Osnova bakalářské práce:

1. Provedení rešerše na téma mechanické lisy s přímým pohonem
2. Návrh konstrukčních variant
3. Konstrukční návrh zvoleného řešení
4. Vypracování zadané výkresové dokumentace

Rozsah grafických prací: **dle potřeby**
Rozsah pracovní zprávy: **30-40 stran A4**
Forma zpracování bakalářské práce: **tištěná/elektronická**
Seznam odborné literatury:

HOSNEDL, S., KRÁTKÝ, J. Příručka strojního inženýra. Praha: 1999

KOVÁČ, A., JENKUT, M. Tvárniace stroje. Bratislava: 1978

RUDOLF, B., KOPECKÝ, M. Tvářecí stroje. Praha: 1985


Podkladový materiál, výkresy, katalogy, apod. poskytnuté zadavatelem úkolu.

Vedoucí bakalářské práce: **Ing. Jan Hlaváč, Ph.D.**
Katedra konstruování strojů
Konzultant bakalářské práce: **Ing. Jan Hlaváč, Ph.D.**
Katedra konstruování strojů

Datum zadání bakalářské práce: **23. září 2013**
Termín odevzdání bakalářské práce: **27. června 2014**


Doc. Ing. Jiří Staněk, CSc.
děkan




Doc. Ing. Václava Lašová, Ph.D.
vedoucí katedry

V Plzni dne 23. září 2013

ANOTAČNÍ LIST BAKALÁŘSKÉ PRÁCE

AUTOR	Příjmení Kuril	Jméno Petr	
STUDIJNÍ OBOR	„Stavba výrobních strojů a zařízení“		
VEDOUcí PRÁCE	Příjmení (včetně titulů) Doc. Ing. Hlaváč, Ph.D.	Jméno Jan	
PRACOVISŤE	ZČU - FST - KKS		
DRUH PRÁCE	DIPLOMOVÁ	BAKALÁŘSKÁ	Nehodící se škrtněte
NÁZEV PRÁCE	Přímé pohony v konstrukci mechanických lisů		

FAKULTA	strojní	KATEDRA	KKS	ROK ODEVZD.	2014
----------------	---------	----------------	-----	--------------------	------

POČET STRAN (A4 a ekvivalentů A4)

CELKEM		TEXTOVÁ ČÁST		GRAFICKÁ ČÁST	
---------------	--	---------------------	--	----------------------	--

STRUČNÝ POPIS ZAMĚŘENÍ, TÉMA, CÍL POZNATKY A PŘÍNOSY	Bakalářská práce obsahuje rešerši na téma mechanické lisy s přímým pohonem. V práci budou vypracovány varianty konstrukčních řešení mechanických lisů s přímým pohonem. Pro vybranou variantu bude zpracováno konstrukční řešení včetně jeho ověření. Na závěr práce bude vypracována výkresová dokumentace vybraných dílů.
KLÍČOVÁ SLOVA	Přímý pohon, mechanický lis, konstrukce lisu

SUMMARY OF BACHELOR SHEET

AUTHOR	Surname Kuril	Name Petr	
FIELD OF STUDY	"The construction of manufacturing machinery and equipment"		
SUPERVISOR	Surname (Inclusive of Degrees) Doc. Ing. Hlaváč, Ph.D.	Name Jan	
INSTITUTION	ZČU - FST - KKS		
TYPE OF WORK	DIPLOMA	BACHELOR	Delete when not applicable
TITLE OF THE WORK	Direct drives in the design of mechanical presses		

FACULTY	Mechanical Engineering	DEPARTMENT	Machine Design	SUBMITTED IN	2014
----------------	------------------------	-------------------	----------------	---------------------	------

NUMBER OF PAGES (A4 and eq. A4)

TOTALLY		TEXT PART		GRAPHICAL PART	
----------------	--	------------------	--	-----------------------	--

BRIEF DESCRIPTION TOPIC, GOAL, RESULTS AND CONTRIBUTIONS	Bachelor thesis contains a search on mechanical presses with direct drive. The work will be developed variant designs of mechanical presses with direct drive. The selected option will be processed structural solution, including its verification. At the conclusion will be drawn drawings of selected parts.
KEY WORDS	Direct drive, mechanical press, press structure

Poděkování:

Rád bych poděkoval vedoucímu bakalářské práce Doc. Ing. Janu Hlaváčovi, Ph.D. za poskytnutý čas, připomínky a hlavně odborné rady při tvorbě této práce.

Obsah

Obsah	1
1 Úvod.....	3
2 Tok energie u mechanického lisu	4
2.1 Pohon s akumulátorem	4
2.2 Přímý pohon	5
3 Mechanické lisy	6
3.1 Technické parametry mechanických lisů	6
3.1.1 Jmenovitá síla.....	7
3.1.2 Užitečný, pracovní a jmenovitý zdvih	8
3.1.3 Jmenovitá rychlost a zrychlení.....	8
3.1.4 Diagramy zobrazující závislosti při průběhu pracovního zdvihu	9
3.2 Konstrukční části a díly klikového lisu	10
3.2.1 Stojan	10
3.2.2 Klika.....	11
3.2.3 Ojnice.....	11
3.2.4 Beran	11
4 Elektro motory pro přímý pohon	12
4.1 Siemens torque motory SIMOTICS T.....	12
4.1.1 Řada SIMOTICS T 1FW3	12
4.1.2 Řada SIMOTICS T 1FW6	13
4.1.3 Řada SIMOTICS T HT - direct 1FW4	13
4.2 VUES Brno – momentové motory řady ROL 180 až ROL 1000.....	13
4.3 Lin - tech torzní motor typu TF	14
4.4 Baumuller DST 135 - 315 - Diskové motory s velkým točivým momentem. 14	
5 Vložený převod.....	15
5.1 Jednostupňový převod čelním ozubením	15
5.2 Planetové převodovky	15
5.2.1 Popis funkce.....	16
5.2.2 Průzkum trhu.....	16
6 Využívání přímých pohonů.....	17
6.1 Aida	18
6.2 Schuler.....	18
7 Akumulace elektrické energie.....	19

7.1	Superkondenzátor (supercapacitor)	19
7.2	Akumulace díky magnetickému poli cívky	20
7.3	Vysokootáčkový setrvačnick.....	20
8	Výpočet klikového lisu	21
8.1	Zadané hodnoty	21
8.2	Vypočtené hodnoty	21
9	Výběr elektromotoru a převodového mechanismu.....	23
9.1	Volba elektromotoru	23
9.2	Volba vloženého převodu	24
9.2.1	Konstrukční uspořádání převodu v lisu	25
9.3	Kompenzace energie při špičkovém zatížení motoru.....	26
10	Konstrukční návrh lisu	27
10.1	Kontrola excentrové hřídele	27
10.1.1	Vytvoření 3D modelu a kontrola metodou konečných prvků.....	27
10.2	Mechanický lis s přímým pohonem.....	30
11	Závěr	31
12	Literatura.....	32
12.1	Knižní publikace:.....	32
12.2	Internetové zdroje:.....	32
13	Seznam obrázků	34

1 Úvod

V této bakalářské práci se budu zabývat možnostmi nahrazení konvenčního nepřímého pohonu mechanického lisu za moderní přímý pohon. Označením nepřímého pohonu je myšleno mechanické zařízení s akumulátorem, tedy v konkrétním případě s akumulací kinetické energie pomocí rotačního setrvačnicku. Tato energie setrvačnicku je použita pro pokrytí zvýšené spotřeby v průběhu samotného tváření jako energie pracovního zdvihu a jako energie kompenzující ztráty systému. U přímého pohonu setrvačnick není použit. Lisy s nepřímým pohonem, neboli se setrvačnickem, mají konstantní rychlost zdvihu odvozenou od rychlosti otáčení setrvačnicku. Naopak přímý pohon umožňuje zvýšení rychlosti v nezatížené části zdvihu a tím zrychlit výrobní proces. Motor pro přímý pohon je nerovnoměrně zatížen a energie je přiváděna ze zdroje elektrické energie v požadovaném množství daným stavem stroje.

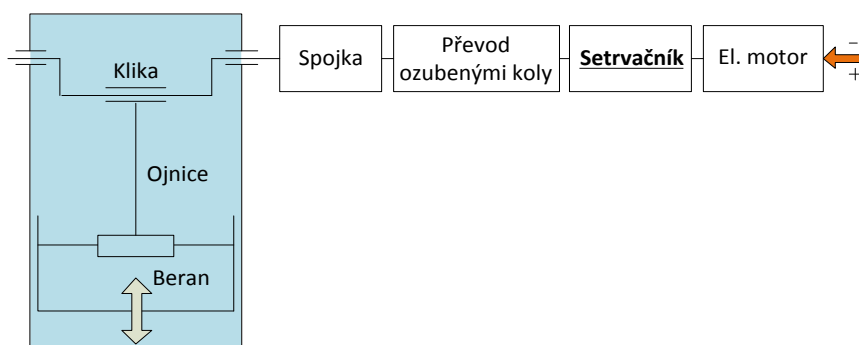
Použití mechanických lisů s přímým pohonem se ve velké míře uplatňuje v jemné mechanice a elektronice, zatímco v těžké strojařině se tyto principy používají mnohem méně. V jemné mechanice je spotřeba elektrické energie při tváření malá, díky malým odporům tvářených kusů. U lisů s přímým pohonem a s velkými tvářecími silami jsou nároky na dodání energie ze sítě enormní, často se proto musí chybějící energie ze sítě kompenzovat přídatným zařízením. Přímé pohony zaručují díky používání servomotorů rychlost a snadnou synchronizaci s ostatními procesy výroby. Díky všem těmto skutečnostem spojují lisy s přímým pohonem výhody hydraulických a klasických mechanických lisů dohromady.

2 Tok energie u mechanického lisu

Pro vykonání přetvárné práce (plastické deformace) tvářeného kusu jsou mechanické lisy charakteristické velkým odběrem energie v krátkém čase. Celková práce pro tváření musí být nejen dostatečně velká pro překonání odporu tvářeného materiálu, ale i vnitřních odporů stroje (převážně tření). Potřeba sil u velkých tvářecích strojů může být jen špičková, spojená s velkými výkyvy v toku energie. Stroj při takovém zatížení potřebuje dodat značnou energii v krátkém časovém úseku. Tato energie bývá často příliš velká, aby mohla být dodána ze sítě, proto se do stroje přidává akumulátor, který chybějící energii při zatížení kompenzuje. Pro akumulaci energie se může použít několik principů. U rotačního pohonu se nejčastěji používá setrvačnický, který uchovává kinetickou energii. Pro zachování potenciální energie se může využít závaží ve výšce, nebo se a deformační energie uchovává ve formě pružiny, stlačeného plynu. Tyto akumulátory také slouží jako tlumící prvky proti rázům vznikajícím ve stroji.

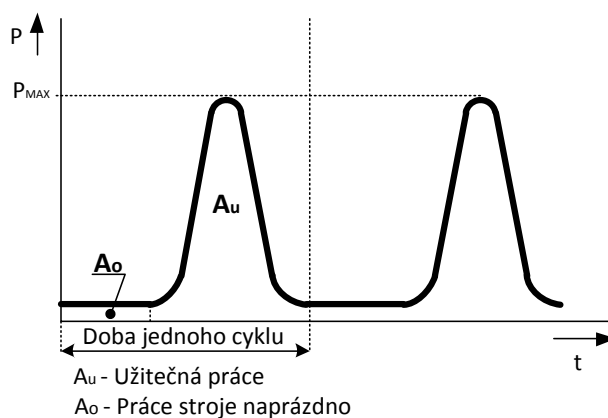
2.1 Pohon s akumulátorem

Pokud soustava obsahuje akumulátor, je nazývána jako s nepřímým pohonem. Tento akumulátor, zde konkrétně setrvačnický, dodává energii potřebnou k vykonání tvářecího cyklu. Energie se může dodávat ze setrvačnicku a motoru nebo pouze ze setrvačnicku.



Obr. 1 Schéma pohonu lisu s akumulátorem

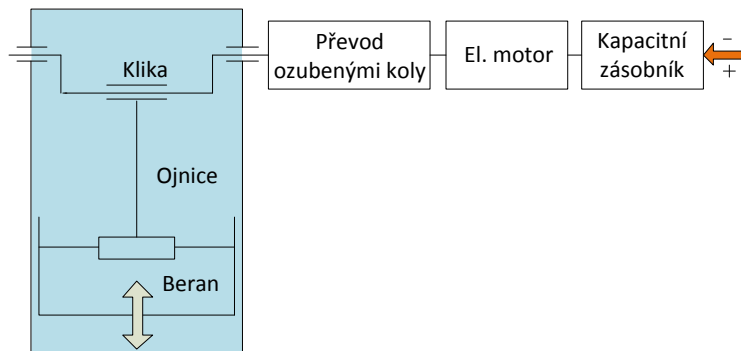
Na Obr.1 je naznačeno zjednodušené sestavení mechanického lisu s pohonem setrvačnickem - akumulátorem energie. Diagram na Obr.2 níže, obecně vyjadřuje odběrovou charakteristiku mechanického setrvačnicku.



Obr. 2 Výkonová charakteristika setrvačnicku

2.2 Přímý pohon

Bez akumulátoru se systém označuje jako lis s přímým pohonem, čili motor pohání přímo výstupní člen. Pokud mluvíme o názvu přímý pohon všeobecně je tímto pojmem zamýšleno propojení výstupního členu s motorem bez jakéhokoliv převodu. Otáčky výstupního členu mechanických lisů mohou být příliš nízké, proto se v případě potřeby zabudovává do systému lisu převod.

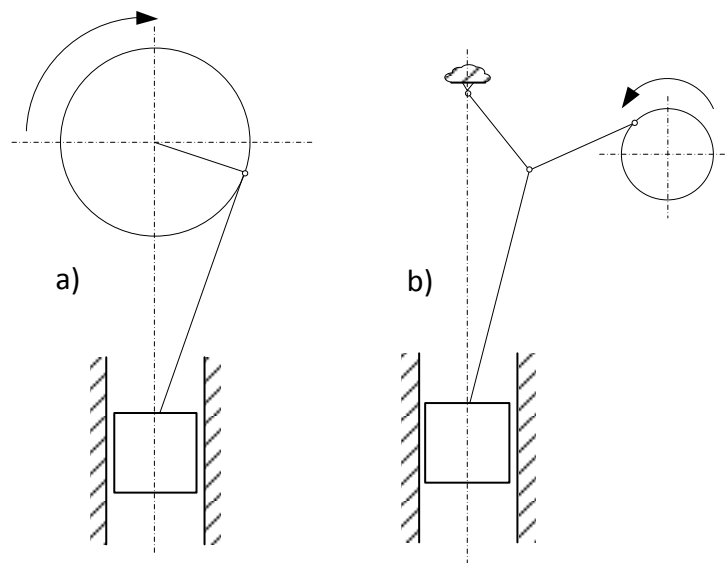


Obr. 3 Schéma lisu bez akumulátoru

3 Mechanické lisy

[1] [2]

Pro tyto lisy je charakteristické, že k přenesení energie je využit mechanický převodový systém. Tento systém mechanických lisů přeměňuje rotační pohyb motoru na přímočarý pohyb beranu lisu. V praxi se používají na nejrůznější tvářecí operace, jsou to nejpoužívanější stroje na tvářeni v sériové a hromadné výrobě. Základním pohonem je klikový mechanismus a ostatní mechanismy jsou buď odvozené, nebo kombinované. Mezi ostatní pohony se řadí výstředníkový, kolenový, šroubový a jiné jako hřebenový. Další rozdělení lisů může být podle typu rámu nebo podle počtu ojníc na klikové hřídeli. Pokud jsou dvě ojnice ve stroji je toto sestavení nazýváno jako dvoubodové, při použití více ojníc je stroj vícebodový.



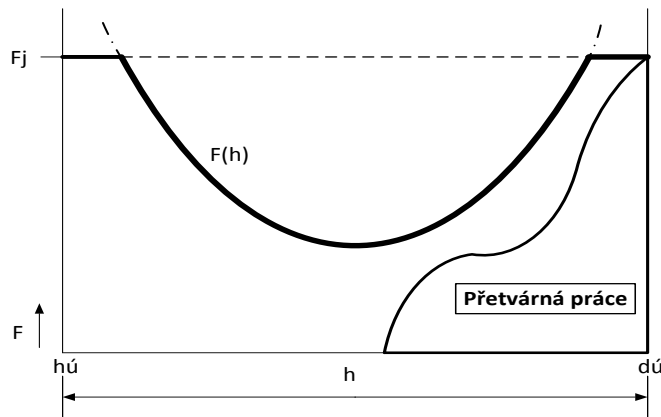
Obr. 4 Náhled druhů sestavení lisů a) Klikový mechanismus b) Kolenový mechanismus

3.1 Technické parametry mechanických lisů

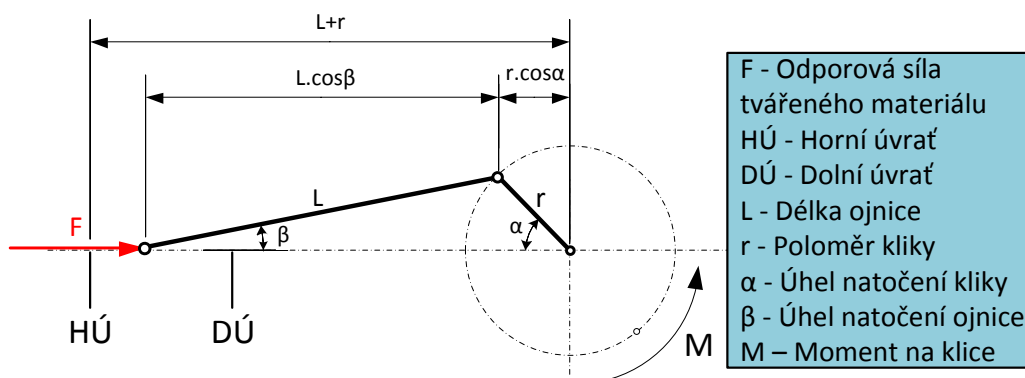
V této kapitole jsou charakterizovány veličiny, které určují základní i obecné informace pro volbu nebo návrh mechanických lisů. Tyto veličiny jsou v běžném provozu typizovány a odstupňovány v geometrických řadách.

3.1.1 Jmenovitá síla

U mechanických lisů je jmenovitá síla uváděna jako charakteristický parametr, určující jakou největší dovolenou silou může výstupní člen stroje působit na tvářený materiál. Při chodu stroje se funkce síly mění v závislosti na úhlu natočení kliky, viz Obr.5. Při horní a dolní úvratí dosahuje tato funkce jmenovité síly F_j .



Obr. 5 Zobrazení průběhu tvářecí síly při konstantním momentu v závislosti na zdvihu $F(h)$, jmenovité síly F_j a plochy obecně představující přetvárnou práci mechanického lisu



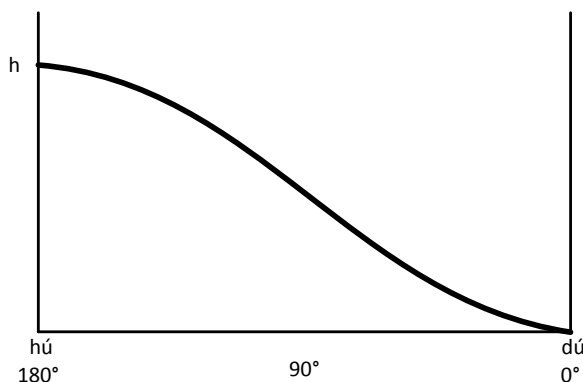
Obr. 6 Schéma klikového mechanismu s odporovou silou tvářeného materiálu působící na ojnici a momentem vyvozeným motorem

Samotný pracovní vztah mezi momentem pohánějícím kliku a pracovní silou beranu je vyvozen z diferenciální rovnosti prací. Při zanedbání vlivu dynamických momentů a sil je tato rovnost odvozena ve formě následujícího vzorce.

$$F \cdot dh = M \cdot d\alpha$$

3.1.2 Užitečný, pracovní a jmenovitý zdvih

Pod označením užitečný zdvih je myšlena dráha nástroje, která odpovídá deformaci tvářeného materiálu. Tato dráha nezahrnuje působení pružných deformací, které ovlivňuje tuhost rámu stroje. Proto je vhodné určit pracovní zdvih, který zahrnuje i pružné deformace stroje při tvářecí operaci. Jmenovitý zdvih je daný jmenovitým úhlem natočení kliky stroje. Závislost dráhy výstupního členu klikového mechanismu na úhlu natočení kliky je zobrazena na Obr.7.



Obr. 7 Závislost dráhy výstupního členu klikového mechanismu na úhlu natočení kliky

Obecný zdvih h je spočitatelný ze známých hodnot na lisu.

$$h \approx r \cdot (l - \cos\alpha)$$

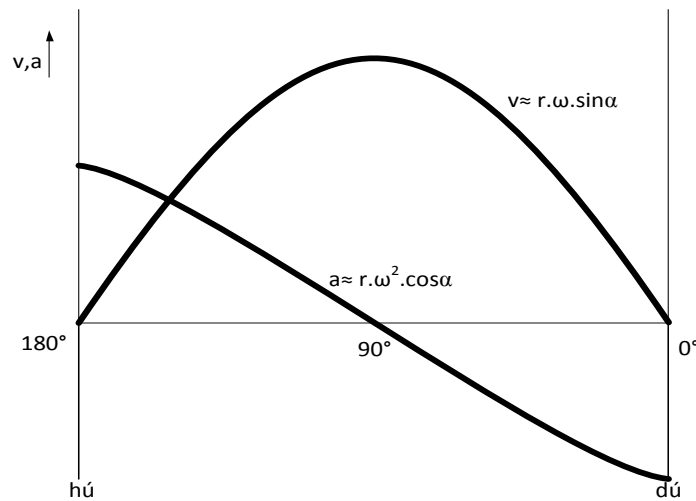
3.1.3 Jmenovitá rychlost a zrychlení

Jmenovitá rychlost je teoretická a udává rychlost beranu na začátku cyklu, při takzvaném chodu naprázdno. Samotná rychlost beranu závisí na uhlové rychlosti klikové hřídele, poloměru a úhlu natočení kliky. Rychlost beranu ovlivňuje poměrnou rychlost tváření, která velmi významně ovlivňuje samotnou technologii a děje probíhající v tvářeném materiálu. Funkce rychlosti se dá matematicky určit jako derivace zdvihové funkce podle času.

$$v = \frac{dh}{dt} \rightarrow v \approx r \cdot \omega \cdot \sin\alpha$$

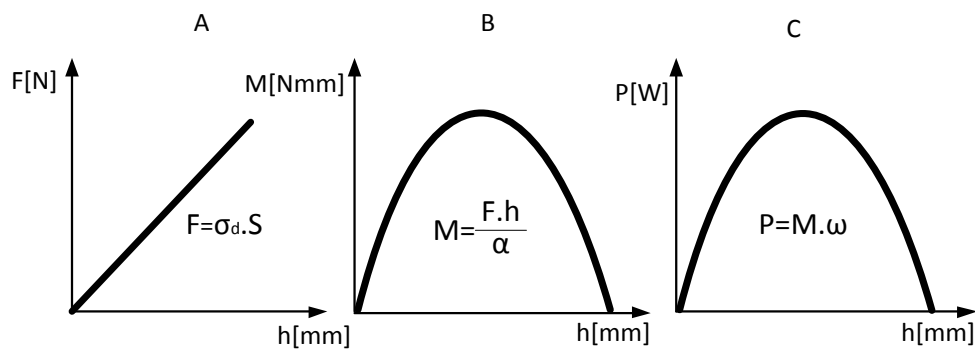
Pro zjištění zrychlení je funkce rychlosti derivována podle času.

$$a = \frac{dv}{dt} \rightarrow a \approx r \cdot \omega^2 \cdot \cos\alpha$$



Obr. 8 Průběh rychlosti a zrychlení

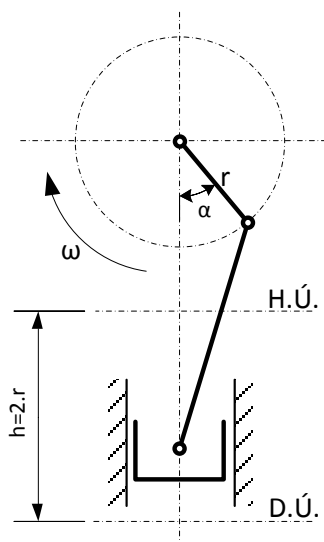
3.1.4 Diagramy zobrazující závislosti při průběhu pracovního zdvihu



Obr. 9 Obecný průběh síly F , momentu M , výkonu P na lisu s konstantní úhlovou rychlostí v závislosti na zdvihu h

3.2 Hlavní konstrukční části a díly klikového lisu

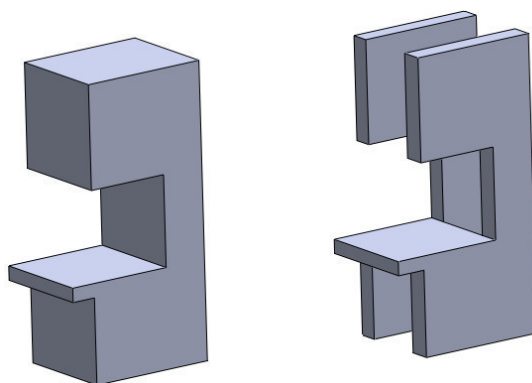
Klikový lis je hlavním představitelem mechanických lisů, liší se od výstředníkového lisu konstantním zdvihem beranu. Tyto lisy jsou vyráběny v rozsahu 0,6 až 100 MN jmenovité síly a mohou se použít na mnoho tvářecích operací jako je tvarování plechů, stříhání, ohýbání, děrování, kování, Mezi hlavní konstrukční díly klikového lisu patří beran, ojnice, kliková hřídel a stojan.



Obr. 10 Kinematické schéma klikového mechanismu

3.2.1 Stojan

Hlavní komponentou, která přenáší pracovní sílu a určuje technologické vlastnosti lisu je jeho stojan. Volba stojanu závisí na operacích, ke kterému je mechanický lis určen. Pro jakoukoliv operaci na lisu musí být zaručena dostatečná tuhost stojanu, která zaručí rozměrovou přesnost výrobků. Dále je nutnost přihlídnout na velikost tvářeného materiálu, kde je pro příklad výhodnější použít typ rámu „C“ na plechařské tváření díky většímu prostoru pro manipulaci.

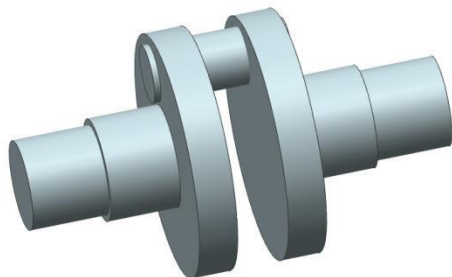


Obr. 11 otevřený typ stojanu „C“ na levé straně a „CC“ na pravé

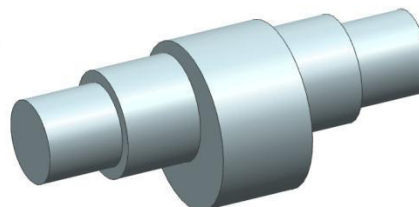
V případě volby přímého pohonu v sestavení lisu už není zapotřebí použití součástí, jako je převodová skříň, spojka a setrvačnick. Naopak jeho konstrukce musí být připravena na přenos reakcí od přímého pohonu.

3.2.2 Klika

V sestavení mechanismu lisu je tato součást uskutečněna jako klikové kolo nebo excentrová hřídel. Síla pohánějící beran je funkcí přímo závislou na úhlu natočení kliky. V případě použití excentrové hřídele místo klikového kola je možno mechanismus zatížit velkými pracovními silami.



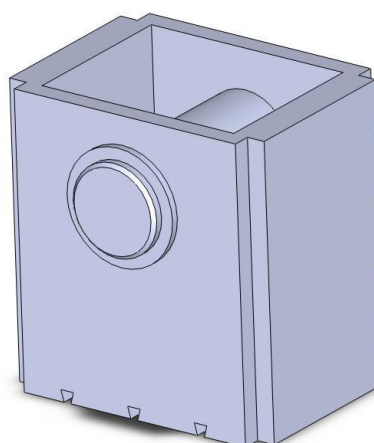
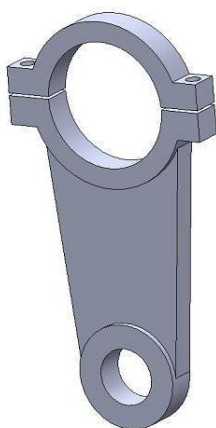
Obr. 12 klikové kolo



Obr. 13 excentrová hřídel

3.2.3 Ojnice

Tato součást klikového lisu přenáší sílu na beran z klikového hřídele. Jeden konec ojnice je připevněn ke klikovému kolu nebo k excentrové hřídeli a druhým koncem je připevněna k čepu beranu. Ojnice je nejčastěji namáhána na vzpěr v podobě dynamického zatěžování přenášeného z kliky stroje.



Obr. 14 ojnice a beran

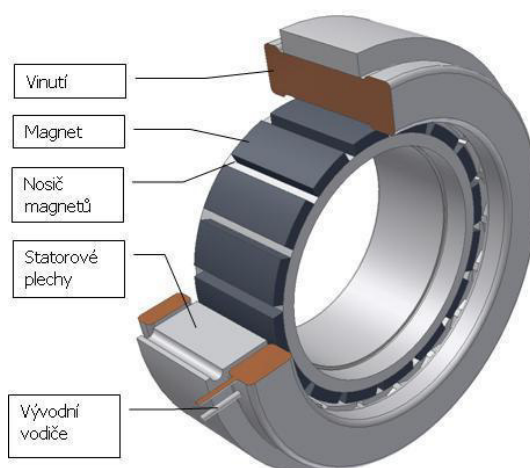
3.2.4 Beran

Je to pracovní část mechanického lisu, na kterou je ve spodní části připevněn tvářecí nástroj s tvarem potřebným pro předání tvarovanému kusu. Beran koná přímočarý vratný pohyb a je proto umístěn ve vedení. Propojení beranu a ojnice je často realizováno pomocí čepového spojení. Pro dodatečnou kalibraci beranu se může použít výstředníkový čep, který umožňuje přesné ustavování výstupního členu. Samotný beran je vyráběn jako odlitek.

4 Elektro motory pro přímý pohon

[3]

Díky stále zvyšujícímu se zájmu o adaptování přímých pohonů do výrobních strojů je na trhu stále více výrobců, kteří nabízejí pohonné jednotky k tomuto určené. Tyto pohonné jednotky se označují jako momentové nebo torque motory. Ty fungují na principu permanentně buzených mnoho - pólových magnetů a jsou konstruovány jako synchronní bezkartáčové. Tyto momentové motory si lze představit jako stočený lineární motor, u kterého zvyšování počtu pólů navýší i krouticí moment. Toto zvyšování momentu ovšem nefunguje lineárně, obecně platí, že zvýšení například z 32 na 46 pólů není tak razantní navýšení momentu jako ze 4 na 8 pólů. Pro další zvyšování momentu je uplatňována možnost zvýšení průměru motoru. Navyšování momentu u motorů bohužel nestačí, nároky se také kladou pro docílení nízkých otáček při dostatečného momentu. Všeobecně se otáčky těchto momentových motorů pohybují pod 1000 ot/min, ale nároky některých tvářecích operací vyžadují velmi malé otáčky. Proto je často nutné zařadit dodatečný převodový systém do mechanismu stroje. Dalšími kritérii, která tyto motory splňují pro začlenění do mechanismu lisu, je dobrá regulace otáček a malé vůle v motoru.



[4] Obr. 15 řez momentovým (torque) motorem.

4.1 Siemens torque motory SIMOTICS T

4.1.1 Řada SIMOTICS T 1FW3

[5]



Obr. 16 T 1FW3

<i>Jmenovité napětí:</i>	<i>Napětí z výstupu frekvenčního měniče v rozsahu 400 až 480 V</i>
<i>Jmenovité otáčky:</i>	<i>50 – 500</i>
<i>Výkon:</i>	<i>3,1 ... 2150 kW (4,22 ... 2 924 HP)</i>
<i>Jmenovitý točivý moment:</i>	<i>100 - 20 000 Nm</i>
<i>Krytí:</i>	<i>IP54, IP55</i>
<i>Chlazení:</i>	<i>vodní</i>
<i>Osová výška:</i>	<i>průměr ve třídách 200 až 730</i>

4.1.2 Řada SIMOTICS T 1FW6

[6]



Obr. 17 T 1FW6

<i>Jmenovité napětí:</i>	<i>Napětí z výstupu frekvenčního měniče v rozsahu 400 až 480 V</i>
<i>Jmenovité otáčky:</i>	<i>50 – 500</i>
<i>Výkon:</i>	<i>3,1 ... 2150 kW</i>
<i>Jmenovitý točivý moment:</i>	<i>200 - 7000 Nm</i>
<i>Krytí:</i>	<i>IP54, IP55</i>
<i>Chlazení:</i>	<i>vodní</i>
<i>Osová výška:</i>	<i>průměr ve třídách 200 a 730</i>
<i>Snímače:</i>	<i>resolver, inkrementální snímač sin/cos 1 Vpp</i>
<i>Typické aplikace:</i>	<i>Aplikace s pomaloběžnými pohony s vysokým momentem bez převodovky: extrudery, ...</i>

4.1.3 Řada SIMOTICS T HT - direct 1FW4

[7]



Obr. 18 T HT-direct

<i>Jmenovité napětí:</i>	<i>Napětí z výstupu frekvenčního měniče 400, 460 nebo 690 V</i>
<i>Jmenovité otáčky:</i>	<i>200 – 800</i>
<i>Výkon:</i>	<i>200 to 2080 kW</i>
<i>Jmenovitý točivý moment:</i>	<i>6000 – 42000 Nm</i>
<i>Tvar:</i>	<i>IM B3</i>
<i>Krytí:</i>	<i>IP 55</i>
<i>Chlazení:</i>	<i>vodní nebo vzduchové s nezávislým ventilátorem</i>
<i>Osová výška:</i>	<i>400, 450 a 500 mm</i>
<i>Typické aplikace:</i>	<i>Pomaloběžné pohony s frekvenčním měničem bez převodovky: papírenské stroje, zařízení pro hutnictví a zpracování plastů apod.</i>

4.2 VUES Brno – momentové motory řady ROL 180 až ROL 1000

[8]



Obr. 19 motor typu ROL

<i>Jmenovitý moment:</i>	<i>68 - 13 250 Nm</i>
<i>Maximální doporučené otáčky:</i>	<i>od 75 do 600 /min</i>
<i>Váha:</i>	<i>13 až 330kg</i>
<i>Výkony:</i>	<i>od 2341 do 17191 W</i>

4.3 Lin - tech torzní motor typu TF

[9]



Obr. 20 Torzní motor TF

*Krouticí moment:
Výkon:
Maximální otáčky:
Chlazení:
Třída krytí:*

*od 100 až 100.000 Nm
od 10 do 1.000 kW
až 1.500 ot/min
kapalinou
IP54*

4.4 Baumuller DST 135 - 315 - Diskové motory s velkým točivým momentem

[10]



Obr. 21 DST 135 až 315

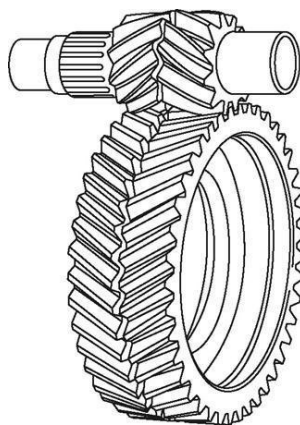
- Výkon: do 255 kW, jmenovitý točivý moment až 8500 Nm při 100 ot./min*
- vysoký moment při nízkých otáčkách až 18600 Nm*
- jmenovité otáčky dle osových výšek a konkrétních typů od 100 do 1500 ot./min*
- vhodné pro náročnou technologii přímých pohonů, zvláště pro extrudéry*
- nízká úroveň hluku*
- odvod tepla pomocí vodního chlazení*

5 Vložený převod

Jak již bylo zmíněno, potřeby pohonu mechanických lisů spočívají ve velikém točivém momentu při nízkých otáčkách. Tyto parametry nejsou elektromotory, ani torque motory na trhu poskytovány. Proto je do pohonu nutné zařadit převod.

5.1 Jednostupňový převod čelním ozubením

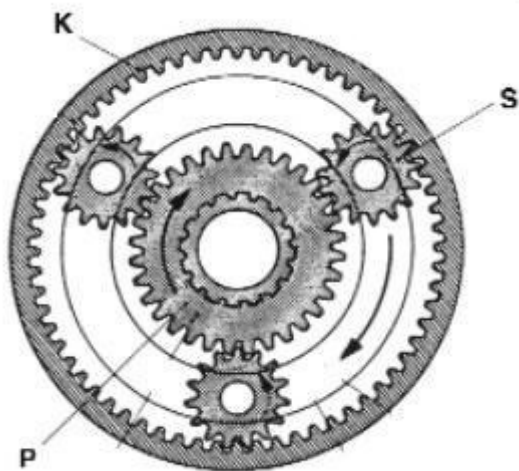
V konstrukci mechanických lisů se velmi často vyskytuje jednostupňový převod, zejména pro jeho jednoduchost. Další výhodou může být nesouosost převodu a tím více možností zabudování do konstrukce lisu. Ozubení v převodu bude zatěžkováno velkými silami, proto se často používá šikmé ozubení pro zvětšení stykové plochy zubu. Ovšem u šikmého ozubení vznikají nežádoucí axiální síly. Vzniku těchto sil se dá zabránit šipovým uspořádáním zubů.



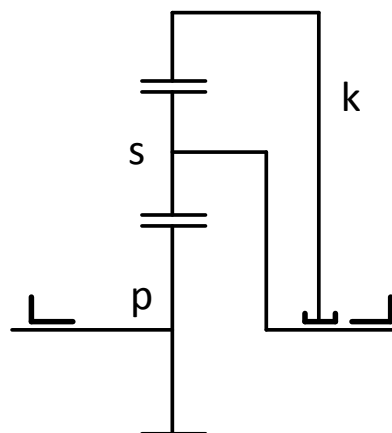
[11]Obr. 22 Šipové uspořádání zubů v převodu

5.2 Planetové převodovky

Tento převodový systém má mnoho výhod pro použití v konstrukci mechanického lisu s přímým pohonem. Zejména jeho možnost přenášení velkých točivých momentů a velký rozsah převodových poměrů při velké účinnosti.



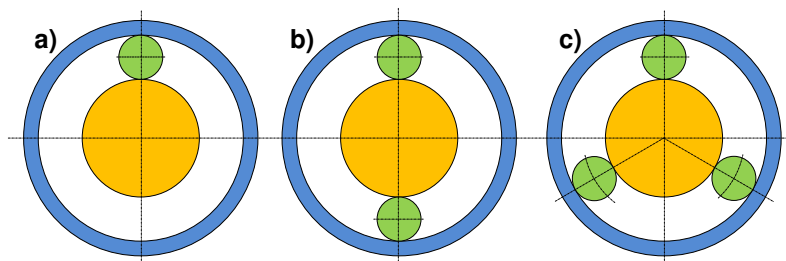
Obr. 23 planetová převodovka P-pastorek, S-satelit, K-vnější kolo



Obr. 24 Schéma sestavení planet. převodu

5.2.1 Popis funkce

Při použití planetového sestavení ozubených kol jako převodovky se musí dodržet podmínka jednoho stupně volnosti systému. V takovém systému bývá jedno těleso ze soustavy blokováno, nejčastěji korunové kolo a z pastorku je přiváděn točivý moment na satelity, z kterých je následně odváděn pomocí unašeče, který tyto satelity propojuje. Ale tento způsob sestavení není jediný možné pro použití. Další možností je když kolo planety pevně stojí a krouticí moment se přenáší z korunového kola na satelity. Existuje několik možností pro uspořádání planetových převodovek, nejčastěji záleží na velikosti přenášeného momentu, který ovlivní počet planet.



Obr. 25 možnosti uspořádání planetových převodů a) s jednou b) se dvěma c) se třemi planetami

5.2.2 Průzkum trhu

Vzhledem k neustále se zvyšujícím nárokům na přesnost a rychlost výroby se stále více využívá výhod planetových převodovek. Pro příklad jsou uvedeny vlastnosti planetových převodovek pro těžké strojírenství od společností Siemens a Bonfiglioli.

Siemens řada Flender

[12]

Tato výrobní řada zahrnuje více než 27 velikostí. Převodovka se skládá ze dvou nebo tří planetových stupňů, které také mohou být kombinovány s různými předřazenými stupni. Jako předřazený je možné použít čelní-, kuželový- nebo kombinovaný stupeň (čelní a kuželočelní).



Obr. 26

Výkon:	30 až 13.000 kW
Krouticí moment:	22.000 až 2.600.000 Nm
Převodový poměr:	25 až 4.000

Bonfiglioli Řada 300 až 325

[13]

Tyto převodové systémy mají 18 možných velikostí a dají se dodat ve formě souosého nebo v pravoúhlém provedení.



Obr. 27

Krouticí moment:	1000 - 1 287 000 Nm
Přenášený výkon:	do 450 kW
Převodový stupeň:	od 1:3,4 do 5.234

6 Využívání přímých pohonů

Díky výhodám nabízeným přímým pohonem už několik výrobců uvedlo na trh lisy s touto technologií. Jedním z faktorů, který zabraňoval v prodeji, a dostatečné poptávce byla cena výroby některých součástí. S vývojem technologií výroby a větší automatizací procesů cena komponent klesá. Díky snižování cenové náročnosti se více zvýrazňují mnohé výhody přímého pohonu. Již od roku 1992 se začalo využívat výhod servomotorů a přímý pohon se zakomponoval do nejrůznějších elektrospotřebičů v domácnosti. Ovšem motory pro toto využití byly malé a jejich spotřeba nepřekračovala možnosti odebírání proudu ze sítě.

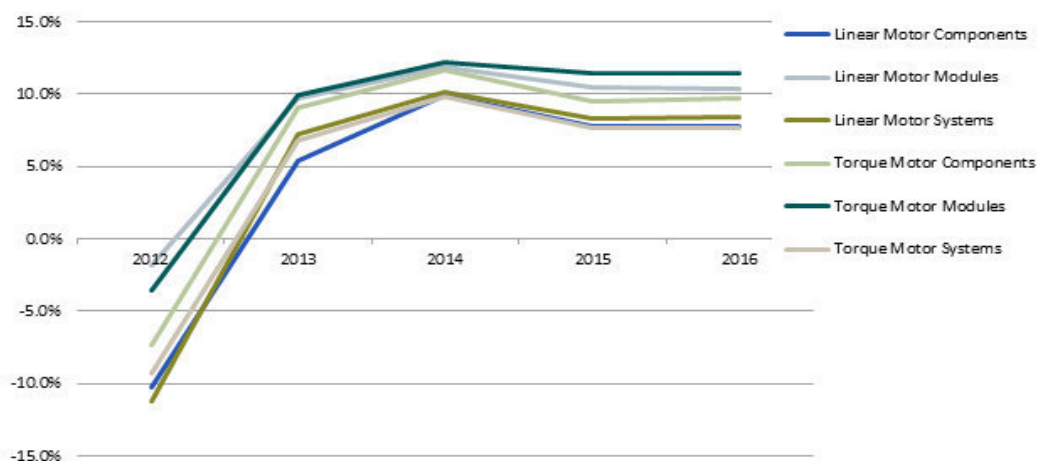
[14]

Postupem času je stále více technologií, které se snaží zefektivnit výrobní proces. Mezi tyto technologie patří i přímý pohon a díky svým možnostem zvyšovat přesnost, funkčnost a energetickou účinnost má velkou perspektivu ve stále běžnějším používání v těžkém strojírenství.

Figure 2.1a

The World Market for Linear and Torque Motors by Product Type

Revenue Growth Profile - 2011 to 2016



Source: IMS Research

Dec-12

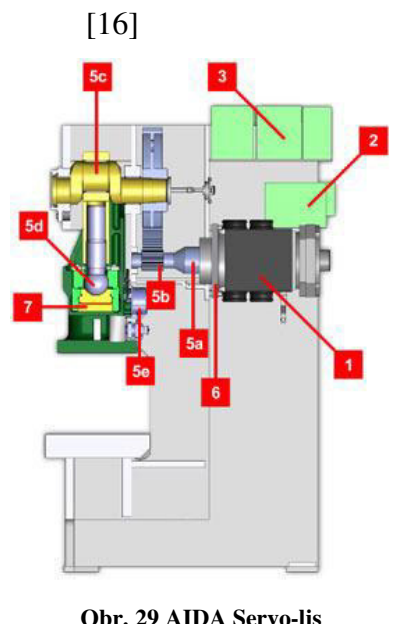
Obr. 28 Graf odhadované výnosnosti při investování do výroby přímých pohonů a komponent do roku 2016

[15] [3]

Rokem 1994 se začaly servo motory používat pro lisy v tiskařském průmyslu kde byla žádaná vysoká přesnost pohybu stroje. První nástup přímých pohonů ve výrobních strojích byl kolem roku 1995, kdy několik výrobců obráběcích strojů začalo zařazovat do svých strojů tento pohonný systém. Nedlouho po aplikaci přímých pohonů do obráběcí technologie se objevily snahy využít kladných vlastností i pro tvářecí stroje. Přesto zatím nejsou motory pro aplikaci přímého pohonu ve stroji vyráběny jako sériový produkt. Výrobci těchto motorů uvádějí ve svých katalogích pro zákazníky převážně směrodatné hodnoty. Celkově je tato technologie využívána v mnoha výrobních odvětvích jako obráběcí střediska, rotační přenosové systémy, tiskařské stroje, konvertory, zařízení pro zpracování plastů a pro tváření kovů. Společnost Bosch Rexroth nebo společnost ETEL tuto technologii využívá i při výrobě elektráren na energii mořských vln a větrných elektráren nejnovějšího typu.

6.1 Aida

Tato japonská společnost se začala zabývat přímými pohony již v roce 1996, kdy uvedla na trh řadu tvářecích strojů s označením ServoPro. Tyto lisы fungují na technologii přímých pohonů a mají zabudované AIDA vysoko momentové servomotory.



- 1) AIDA servo motor s nízkými otáčky
- 2) Zesilovač/servo-regulátor
- 3) Kapacitní zásobník
- 5) ...a. Hnací hřídel s pastorkem
...b. Hlavní převod
...c. Kliková hřídel
...d. Kulové propojení ojnice a beranu
- 6) Mechanická bezpečnostní brzda
- 7) Hydraulická ochrana proti přetížení- AIDA patent

Tato společnost nabízí několik řad lisů k prodeji, avšak nabízí i možnost sestavení lisu podle specifikací zákazníka. Mezi základní typy patří DSF-C1 (s C rámem), DSF-M, DSF-N1, DSF-N2

6.2 Schuler

[17]

Německá společnost Schuler již prodala do roku 2012 více jak 340 lisů s technologií přímého pohonu, kterou ve svých strojích označuje jako ServoDrive. Tuto technologii nabízí v klikových lisech od 8 000 kN až do 32 000 kN.



Obr. 30 MSD 250 servopress se silou 2,5MN



Obr. 31 Připojení čtyř motorů ServoDrive k lisu

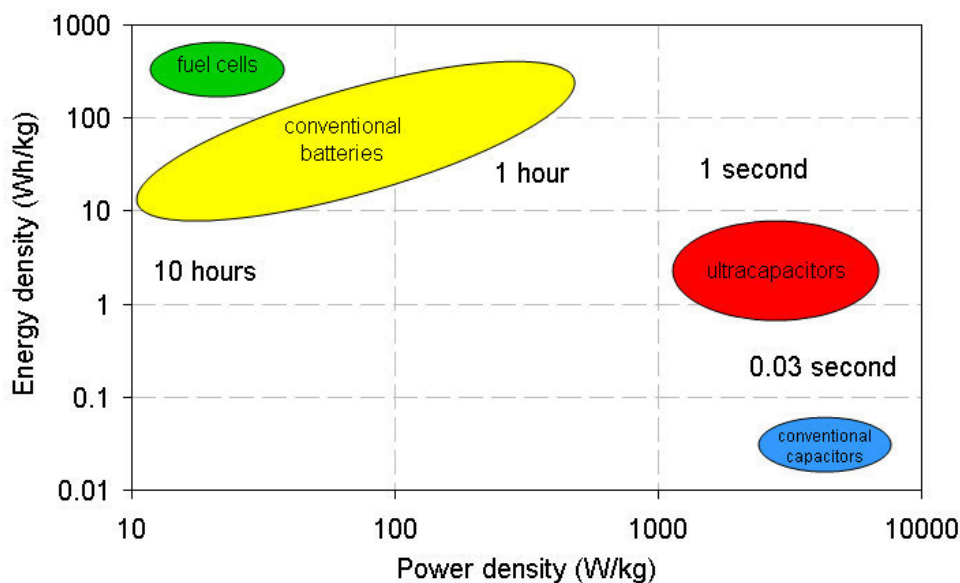
7 Akumulace elektrické energie

Při použití přímého pohonu se díky chybějícímu setrvačníku, který uchovával kinetickou energii, zvýšily nároky na přísun elektrické energie. Při výkonnostních špičkách stroje se často odběr el. energie natolik zvýší, že přesáhne hranici pro možné dodání ze sítě. U mechanických lisů je proto vhodné uchovávat energii pro tento odbyt v dodatečném zařízení, které do soustavy začne dodávat až při nedostatku přísunu energie ze sítě. V praxi existuje několik způsobů uchovávání energie pro potřebný výdej, který není schopna síť produkovat.

7.1 Superkondenzátor (supercapacitor)

[18]

Tato technologie spočívá v použití speciálního materiálu elektrod s velkou plošnou hustotou, čímž vznikne velká kapacita. Tyto elektrody jsou od sebe odděleny folií a zbývající prostor je vyplněn elektrolytem. Pokud jsou velké nároky na odběr napětí, články se řadí sériově. Superkondenzátor má velkou výhodu pro použití s přímým pohonem, oproti bateriím fungujících na chemickém principu. Zatímco baterie, které fungují na principu elektrolytu, jsou schopné dodávat relativně malé množství energie po dlouhou dobu, superkondenzátor dokáže velmi rychle dodat velké množství žádoucí energie.



Obr. 32 diagram závislosti energetické hustoty a napájecí hustoty s časovým intervalem dodání

Tyto superkondenzátory mají poměrně velkou účinnost (až 95%). Protože se ale vývoj tohoto akumulátoru začal vyvíjet poměrně nedávno, cena by prozatím mohla odradit při možném použití. Ale vzhledem k velkému využití u hybridních automobilů putují do vývoje a výzkumu této technologie nemalé finanční prostředky.

7.2 Akumulace díky magnetickému poli cívk

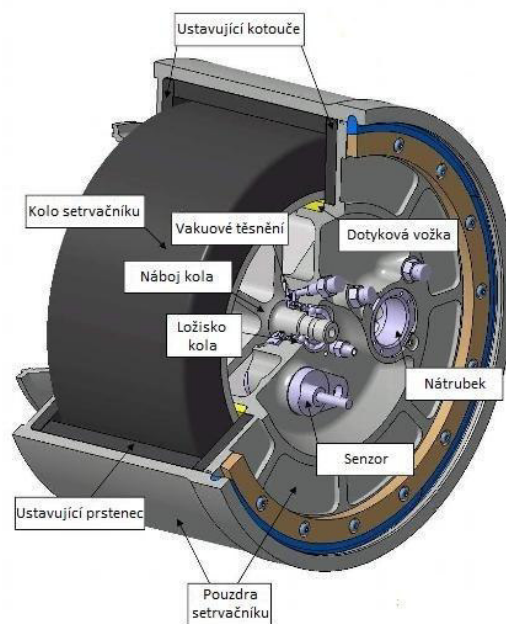
[19]

Princip tohoto zachovávání energie spočívá v použití supravodivých cívek, kterými protéká stejnosměrný proud. Pro udržení energie v cívkách musí být systém beze ztrát, což znamená s nulovým odporem vodiče. Bohužel pro udržení supravodivého stavu cívky je nutno celý systém chladit, nejčastěji kapalným héliem. Zatím tato technologie supravodivé cívky dokáže akumulovat energii o velikosti 1500MJ, ale odborníci pracují na zvýšení až na 1800MJ.

7.3 Vysokootáčkový setrvačnick

[20]

Tato technologie je založena na vzniku kinetické energie, která je přímo úměrná váze a druhé mocnině otáček. Při minimalizaci ztrát třením díky nadnášení magnetickým polem a prostředí blízkému vakuu dokáže i relativně lehký setrvačnick při velkých otáčkách vyprodukovat značné množství energie. Hlavní princip této akumulace je brždění setrvačnicku permanentními magnety, které generují potřebný proud v cívkách a dodají ho tvářecímu stroji při energetické špičce.



Obr. 33 Vysokootáčkový setrvačnick

8 Výpočet klikového lisu

8.1 Zadané hodnoty

Jmenovitá síla:

$$F_j = 16 \text{ [MN]}$$

Zdvih:

$$h = 300 \text{ [mm]}$$

Poloměr kliky:

$$r = 150 \text{ [mm]}$$

Otáčky:

$$n = 35 \text{ [1/min]}$$

Jmenovitý uhel:

$$\alpha_j = 20^\circ$$

Užitečný zdvih:

$$h_u = 0,45 \cdot h = 135 \text{ [mm]}$$

Užitečná práce:

$$A_u = 0,63 \cdot F_j \cdot h_u = 1,361 \text{ [MJ]}$$

8.2 Vypočtené hodnoty

Určení délky ojnice z klikového poměru:

$$\frac{r}{l} = 0,1 \Rightarrow l = \frac{r}{0,1} = \frac{150}{0,1} = 1\,500 \text{ [mm]}$$

Vypočtení úhlu natočení kliky β k ose stroje:

$$x = r \cdot \sin \alpha = 150 \cdot \sin 20^\circ = 51,3 \text{ [mm]}$$

$$\sin \beta = \frac{x}{l} \Rightarrow \beta = \arcsin \frac{x}{l} = \arcsin \frac{51,3}{1500} = 1,96^\circ$$

Síla působící v ojnici F_o :

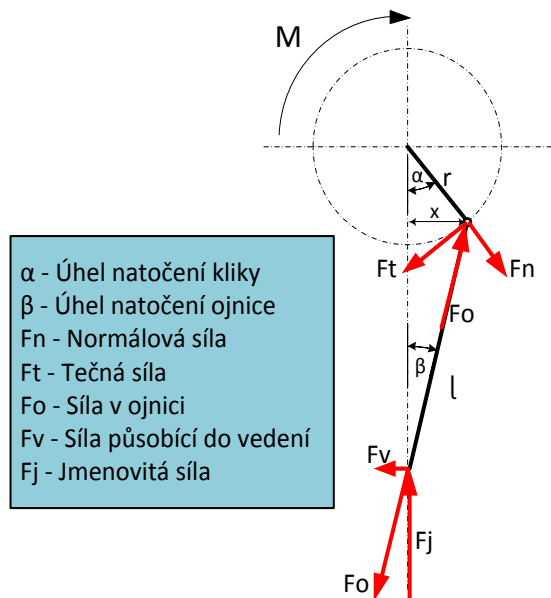
$$\cos \beta = \frac{F_j}{F_o} \Rightarrow F_o = \frac{F_j}{\cos \beta} = \frac{16 \cdot 10^6}{\cos(1,96)} = 16,01 \text{ [MN]}$$

Síla působící do vedení beranu F_v :

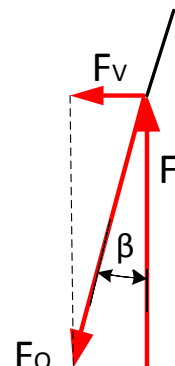
$$\sin \beta = \frac{F_v}{F_o} \Rightarrow F_v = F_o \cdot \sin \beta = 16\,009\,366,31 \cdot \sin 1,96 = 547,5 \text{ [kN]}$$

Normálová složka síly v ojnici F_N :

$$\begin{aligned} \cos(\beta + \alpha) &= \frac{F_N}{F_o} \Rightarrow F_N = F_o \cdot \cos(\beta + \alpha) = 16\,009\,366,31 \cdot \cos(1,96 + 20) = \\ &= 14\,848 \text{ [kN]} \end{aligned}$$



Obr. 34 Obecné rozložení sil v lisu



Obr. 35

Tečná složka síly v ojnici F_T :

$$\sin(\beta + \alpha) = \frac{F_T}{F_o} \Rightarrow F_T = F_o \cdot \sin(\beta + \alpha) = 5\,987 \text{ [kN]}$$

Moment M potřebný pro pohon stroje:

$$M = F_T \cdot r = 5\,986\,849,91 \cdot 0,15 = 898 \text{ [kNm]}$$

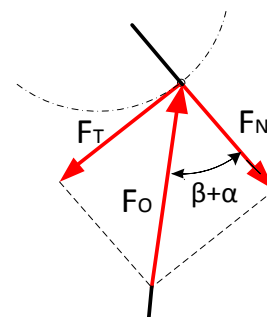
Úhlová rychlost se určí z otáček klikové hřídele:

$$\omega = \frac{2 \cdot \pi \cdot n}{60} = \frac{\pi \cdot n}{30} = \frac{\pi \cdot 35}{30} = 3,665 \text{ [rad/s]}$$

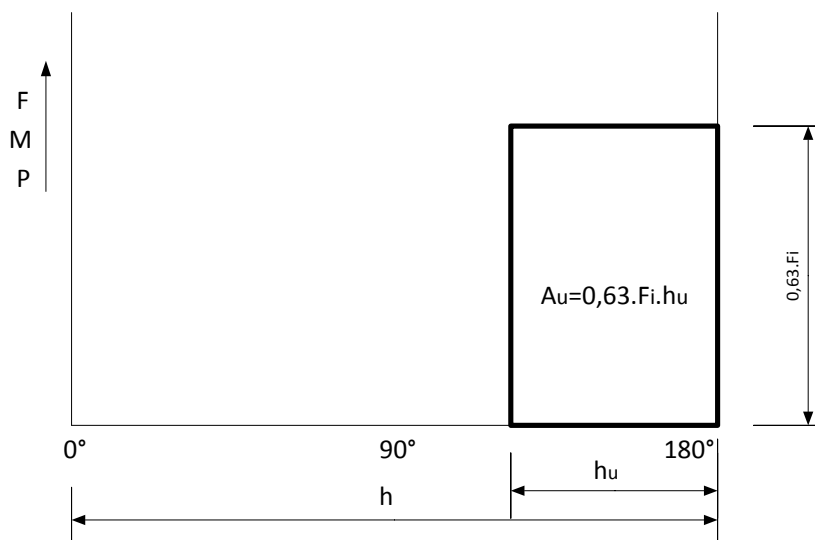
Výstupní výkon P orientační :

$$P = M \cdot \omega = 898\,027,49 \cdot 3,665 = 3\,291,3 \text{ [kW]}$$

Zde vypočítaná hodnota výkonu je uvažována za předpokladu, že je úhlová rychlost konstantní. Přímé pohony mají ovšem tu vlastnost, že rychlost v průběhu mění v závislosti na zatížení.



Obr. 36



Obr. 37 Obecné zobrazení užitečné práce

Moment potřebný pro pohon stroje je navýšen o 15% kvůli vykompenzování ztrát ve stroji:

$$M_s = M \cdot 1,15 = 898\,027,49 \cdot 1,15 = 1\,033 \text{ [kNm]}$$

9 Výběr elektromotoru a převodového mechanismu

Pro vypočítané hodnoty vyplívají kritéria volby součástí pro kompletaci lisu. Mezi tyto hodnoty patří vypočítaný moment, výstupní výkon a otáčky.

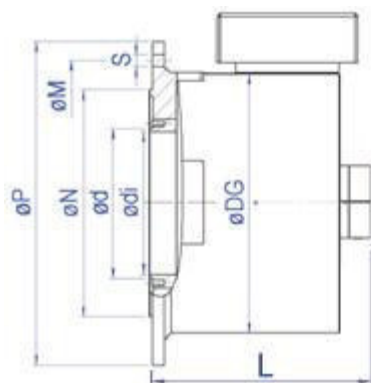
9.1 Volba elektromotoru

[9]

Při porovnání výkonů a rozměrů elektromotorů má nejpříjemnější hodnoty společnost Lin – tech se svojí řadou TF. Tato řada poskytuje velké výkony s rozměry motorů, které lze snáze zabudovat do mechanismu lisu než je tomu u motorů ostatních výrobců. Z řady TF nejlépe vyhovuje motor TF62.60, kde hodnota 60 v názvu udává konkrétní typ velikosti motoru.

Typ	350V Nominální nízké otáčky					Nominální střední otáčky					Nominální vysoké otáčky				
	M_{max} (Nm)	n_N (1/min)	M_N (Nm)	P_N (kW)	I_N (A)	n_N (1/min)	M_N (Nm)	P_N (kW)	I_N (A)	η_N (%)	M_{max} (Nm)	n_N (1/min)	M_N (Nm)	P_N (kW)	I_N (A)
TF62.60	50000	100	22000	231	435	200	17500	368	630	96	36000	400	13200	556	950

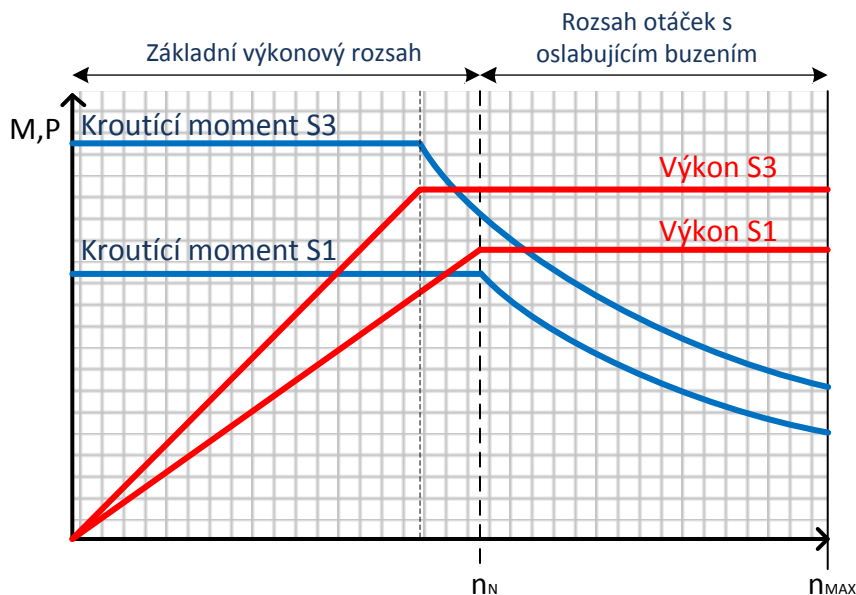
Obr. 38 Základní informace o motoru TF62.60 z katalogu výrobce



Typ	P (mm)	N (mm)	M (mm)	S (mm)	DG (mm)	d / di (mm)	L (mm)
TF62.60	1500	1250	1400	16x ø32	1245	920 / 900	720

Obr. 39 Konstrukční rozměry motoru TF62.60

Protože je maximální potřebný moment několikrát větší než moment elektromotoru bude nutné použít více elektromotorů, konkrétně budou připojeny dva motory TF62.60. Společnost Schuler zabudovává dle potřeby do svých ServoDrive lisů až 4 elektromotory viz Obr.30.



Obr. 40 Průběh momentů a výkonů motoru kde křivky S1 označuje hodnoty pro trvale zatížený chod a křivky S3 pro cyklické krátkodobé zatížení stroje

9.2 Volba vloženého převodu

Při určování konstrukčních rozměrů převodů se použijí hodnoty elektromotoru s požadovanou rychlostí tváření a momentem nutným k dosažení jmenovité síly lisu. Rozměry jednostupňového a planetového převodu byly spočteny pomocí programu MITCalc.

Planetový převod			
Přenášený výkon	Pw [kW]	3950,00	-3950,00
Otáčky (centrální kolo, unašeč, korunové kolo)	n	200,00	36,54
Požadované otáčky pro: Unašeč	n	36,00	16,92 ~ 50
Krouticí moment (centrální kolo, unašeč, korunové kolo)	Mk	188612,50	-1032405,26
Otáčky (satelit vůči unašeči)	n		-94,11
Převodový poměr z1/z0, z2/z1, (z2/z0)	i	1,737	-2,576
Normální úhel záběru	α		20,00
Průměr roztečné kružnice	d0/d1/d2	467,626	812,193
Pracovní šířka ozubení	bw	552,000	552,000

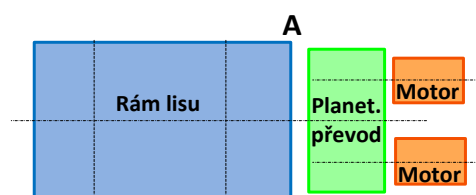
Obr. 41 Konstrukční hodnoty planetového převodu v soustavě SI

Čelní ozubení s šikmými zuby		
Přenášený výkon	Pw [kW]	3950,000
Otáčky pastorku / kola	n [/min]	200,0
Krouticí moment (pastorek / kolo)	Mk [Nm]	188612,50
Skutečný převodový poměr / odchylka	i	5,59
Průměr roztečné kružnice pastorku / kola	d1/d2	998,64
Pracovní šířka ozubení	bw	877
Pracovní vzdálenost os	aw	3289,627

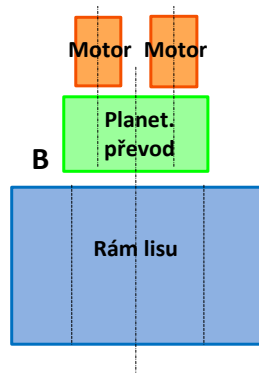
Obr. 42 Konstrukční hodnoty jednostupňového převodu v soustavě SI

9.2.1 Konstrukční uspořádání převodu v lisu

Z vypočítaných průměrů ozubených kol v jednostupňovém převodu vyplývá, že tuto možnost nelze použít, vzhledem k nutnému průměru hnaného kola přesahující 5,5 metru. Pokud by se pro výrobu použila velice kvalitní ušlechtilá a legovaná ocel, průměr hnaného kola by se snížil na 4 metry. Skutečné začlenění tak rozměrného převodu do lisu nepřichází v úvahu. Z konstrukčního hlediska bude nejpříjemnější zvolit planetový převod, který umožňuje přenášet velké výkony a zároveň je rozměrově zabudovatelný do mechanismu lisu.

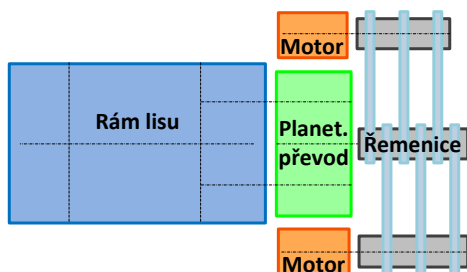


Obr. 43 Uspořádání s planetovým převodem A

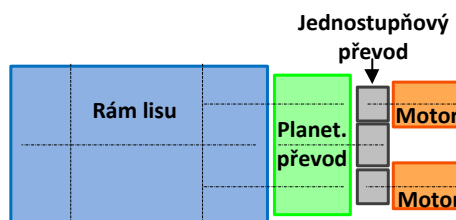


Obr. 44 Uspořádání s planetovým převodem B

Pro přenesení daného točivého momentu se výkon z motorů předá středovému kolu planetového převodu a ten bude roztáčet kola satelitů, která díky unašeči předají moment excentrové hřídeli. Bohužel dva elektromotory nelze připojit k středovému kolu bez dodatečného převodového mechanismu. Při řešení tohoto problému lze uvažovat pouze nad dvěma možnostmi, použití převodu řemeny nebo ozubenými koly.



Obr. 45 Uspořádání s řemenovým převodem

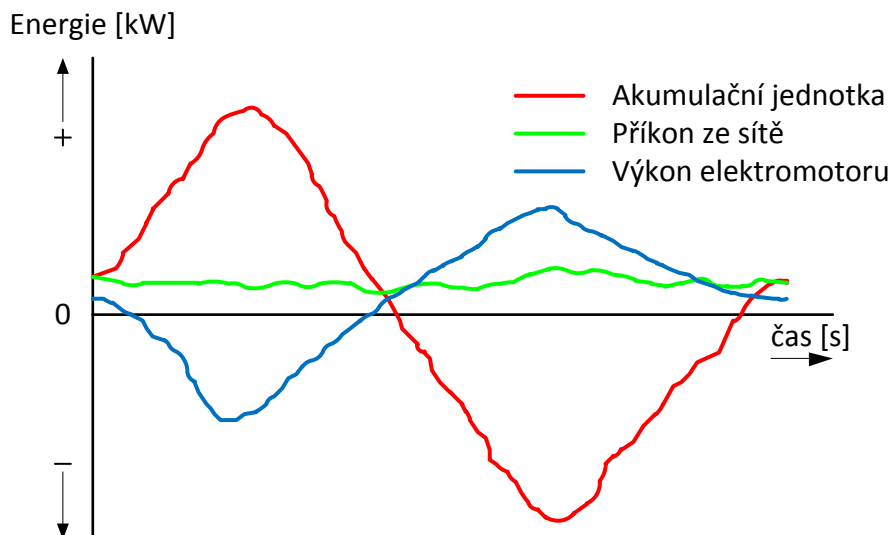


Obr. 46 Uspořádání s ozubeným převodem

V případě zvolení řemenového převodu by se musely pro propojení jednoho motoru s centrálním kolem použít nejméně 3 zubové řemeny nejvyšší pevnosti typu Power Grip[®] HTD 20M, které by dokázaly přenést požadovaný výkon. I přes výhody řemenového převodu jako je tlumení rázů a tichost chodu, by velikost přenášených výkonů a délka řemenic způsobovala jejich ohýbání s následným poklesem napnutí řemenů. Pro zabránění ohýbání řemenic lze připojit k rámu stroje podpůrný mechanismus. Volba jednostupňového převodu ozubenými koly je naopak z hlediska rozměrových nároků přijatelnější. Zároveň vyšší životnost ozubeného převodu zaručí menší nároky na obsluhu lisu. Z těchto důvodů bude vhodné zařadit do mechanismu lisu pro připojení motorů k centrálnímu kolu planetového převodu jednostupňový ozubený převod. Vzhledem k zapojení jednostupňového převodu se tato skutečnost může využít k snížení velikosti momentu přenášeného planetovým převodem a tím se i sníží celá velikost tohoto planetového převodu. Ovlivnění velikosti přenášeného momentu se docílí částečným rozdělením převodového poměru mezi planetovým a jednostupňovým převodem.

9.3 Kompenzace energie při špičkovém zatížení motoru

Při výkonnostní špičce je nutno dodat do motoru potřebné množství elektrické energie, kterou ovšem síť nedokáže poskytnout. Proto se použije akumulátor, konkrétně superkapacitor neboli kapacitní banka. Do tohoto zařízení se v nezatížené části zdvihu ukládá el. energie, která je při potřebě vysokého výkonu dodána rychle do motoru.



Obr. 47 Schématický průběh výkonů v lisu



[21]Obr. 48 Superkapacitory

[22]

Společnost Oswald udává úsporu až 40% energie při realizaci nabízených komponent pro lisu s technologií přímého pohonu. Tato úspora pro přímý pohon vyplývá z minimalizace ztrát při akumulaci a výdeji energie ze setrvačnicku. Touto problematikou se zabývají specializované firmy, návrh a řešení takovýchto systémů pro konkrétní odběrové nároky lisu je velmi složitý.

10 Konstrukční návrh lisu

Vzhledem k velkým silám vznikajících ve stroji se použije rám typu „O“, který zaručí dostatečnou tuhost stroje při tváření. S uvážením rozměrů stolu lisu (1650x1650mm), které v podstatě udávají šíři mezi nosnými stěnami, bude nutné do rámu zapojit segmenty s žebrováním pro podporu excentrové hřídele. Tyto segmenty zabrání vytváření velkých ohybových momentů na hřídeli při tváření.

10.1 Kontrola excentrové hřídele

Excentrová hřídel přenáší otáčivý moment z převodového mechanismu na ojnici, díky níž poté beran přetváří vložený materiál. Vzhledem k velkým silám a momentům působícím ve stroji bude nutné navrhnout vyhovující velikost excentrové hřídele, která dokáže pracovat při zatížení zadanými sílovými účinky. Dále je nutno zkontrolovat velikost drážkování, kterým se spojí excentrová hřídel s unašečem planetového převodu.

Zvolený materiál pro excentrovou hřídel je 12060.30 s mezí pevností v rozmezí $R_m=470-630$ [MPa], volím $R_m=500$ [MPa]. Pro určení dovoleného napětí je také nutno zvolit koeficient bezpečnosti.

Výpočet dovoleného napětí σ_D :

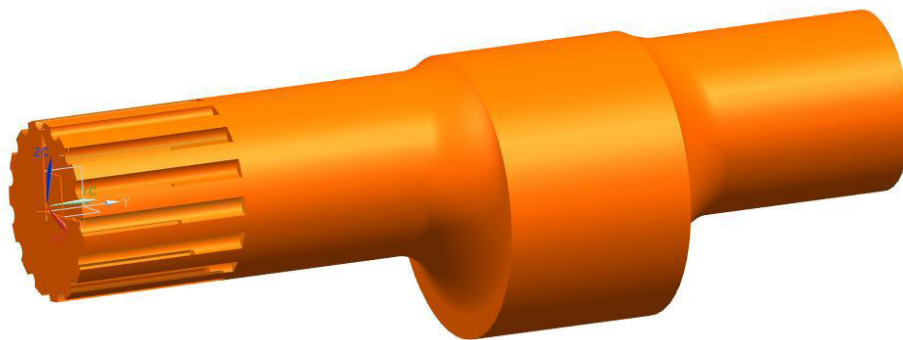
$$\sigma_D = \frac{R_m}{k} = \frac{500}{1,5} \doteq 333[\text{MPa}]$$

$k = 1,5[-]$ -koeficient (součinitel) bezpečnosti

$R_m = 500$ [MPa] -mez pevnosti

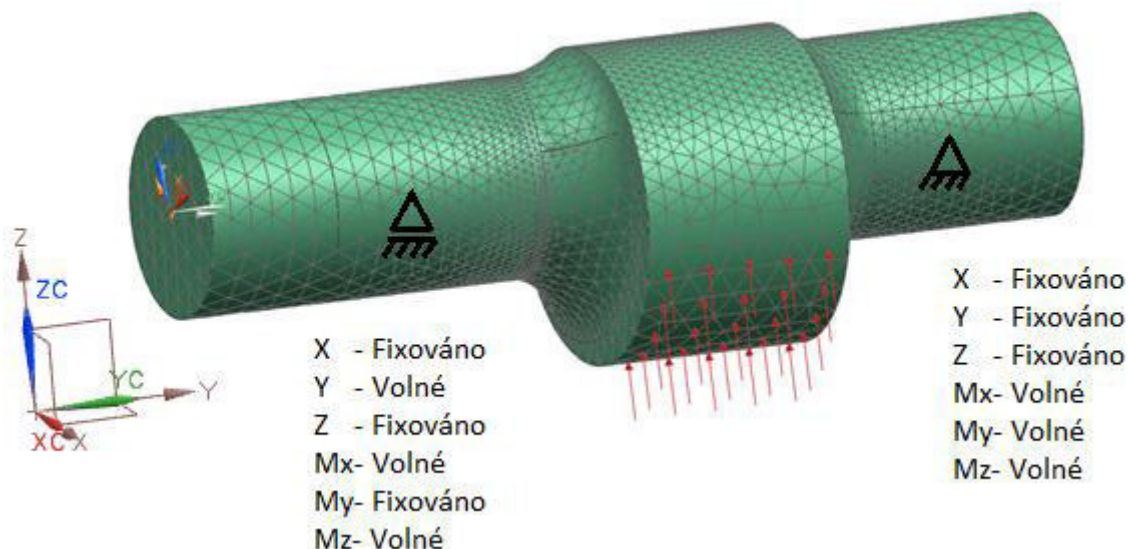
10.1.1 Vytvoření 3D modelu a kontrola metodou konečných prvků

Modelování a pevnostní výpočty byly vytvořeny v softwaru Siemens NX.



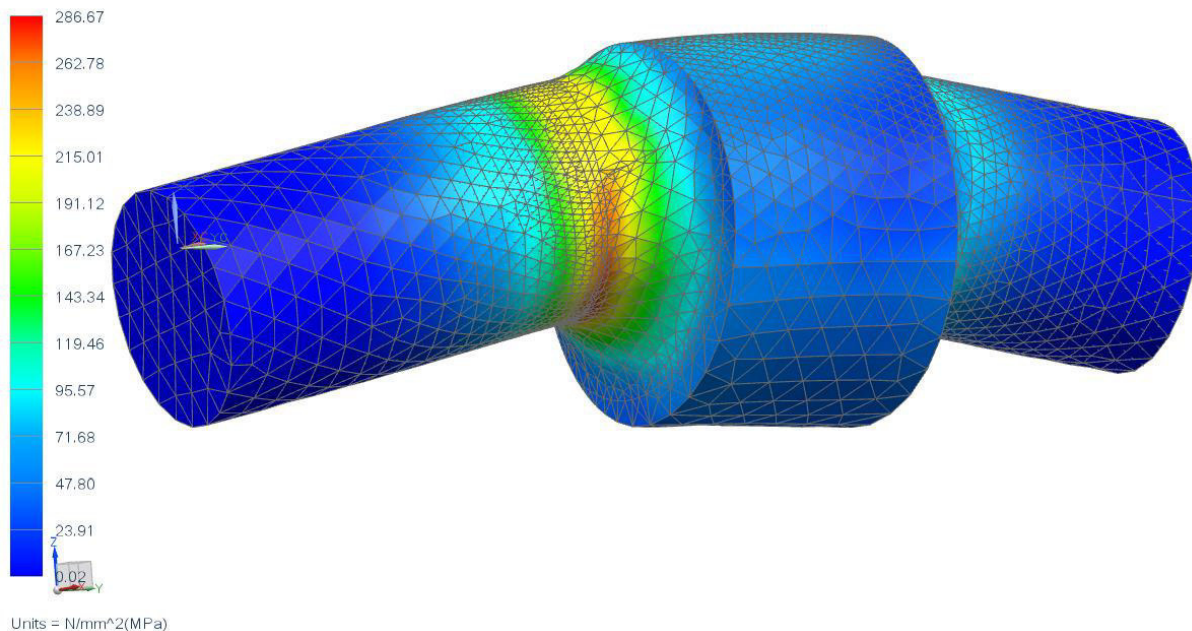
Obr. 49 Model excentrové hřídele

Pro výpočet napětí v součásti bude nutné tento model zasít'ovat. Tedy rozdělit ho na malé prvky, které mezi sebou budou při výpočtu interagovat. Před zasít'ováním je nutno model zjednodušit, aby byla síť v nezatížených částech co nejjednodušší a tím se urychlil výpočet. Pokud požadujeme co největší přesnost výsledků v oblastech, kde předpokládáme koncentraci napětí, musí se síť v těchto místech co nejvíce zjemnit. Pro zasít'ování byla zvolena síť 3D tetrahedral.

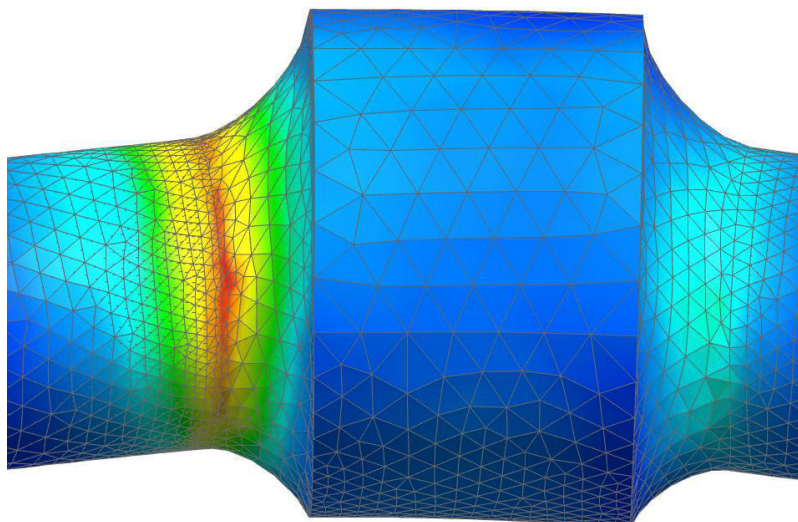


Obr. 50 Zjednodušený, zasíťovaný a zatížený model excentrové hřídele

Pro co nejméně nepravděpodobnější napodobení zatížení byla excentrové hřídele natočena o jmenovitý úhel $20[^\circ]$ a vektor jmenovité síly $16[\text{MN}]$ leží v ose ojnice. Díky tomuto naklonění síly nebude model odolávat pouze ohybu, ale i krutu. Zároveň bylo přihlédnuto k tomu, že síla zatěžující součást nepůsobí na celou dotykovou plochu s ojnicí, proto je na součásti tato dotyková plocha zmenšena na pravděpodobnou plochu skutečného působení síly. Dále je nutno pro výpočet správně ukotvit model a zadat okrajové podmínky, které odpovídají usazení hřídele ve stroji. Na část hřídele, která je připevněna k unašeci z planetového převodu působí krouticí moment, zatímco druhý konec hřídele je krouticím momentem nezatížen. Obě tyto části modelu jsou rámem lisu omezeny ve směru pohybu kolmém k ose rotace hřídele.



Obr. 51 Výsledné rozložení napětím v modelu (redukované von Mises)



Obr. 52 Detail výsledného rozložení napětí v modelu

Z výsledků simulace je patrné že největší koncentrace napětí se bude vytvářet na konci zaoblení. Prvotní pokusy návrhu velikosti hřídele měly hodnotu maximálního napětí přes 1000[MPa]. Simulace byla provedena pro několik variant rozdílných velikostí průměrů a zaoblení hřídele za účelem snížit hodnotu maximálního napětí pod dovolené napětí.

10.1.2 Výpočet velikosti drážkování

Drážkování lze na hřídeli vytvořit v několika variantách, jako je rovnoboké nebo evolventní. U takto velkého průměru hřídele bude při volbě evolventního drážkování nutno vyrobit speciálně tvarovanou frézu, proto je jednodušší a levnější možnost zvolit rovnoboké drážkování. Pro ocel vyšší kvality, která je namáhána střídavými rázy se doporučuje počítat s dovoleným napětím proti otlacení $\sigma_{Dot}=50$ [MPa]

Výpočet hloubky drážkování h:

$$\sigma_{Dot} = \frac{F}{S} = \frac{2 \cdot M_k}{D_s \cdot L \cdot h \cdot K \cdot i} \Rightarrow h = \frac{2 \cdot M_k}{D_s \cdot L \cdot \sigma_{Dot} \cdot K \cdot i} = \frac{2 \cdot 1 \cdot 10^9}{650 \cdot 450 \cdot 50 \cdot 0,75 \cdot 10} \doteq \mathbf{20[mm]}$$

$$M_k = 1 \cdot 10^9 [\text{Nmm}]$$

-krouticí moment působící na drážkování

$$D_s = 650 [\text{mm}]$$

-střední průměr drážkování

$$L = 450 [\text{mm}]$$

-délka drážkování

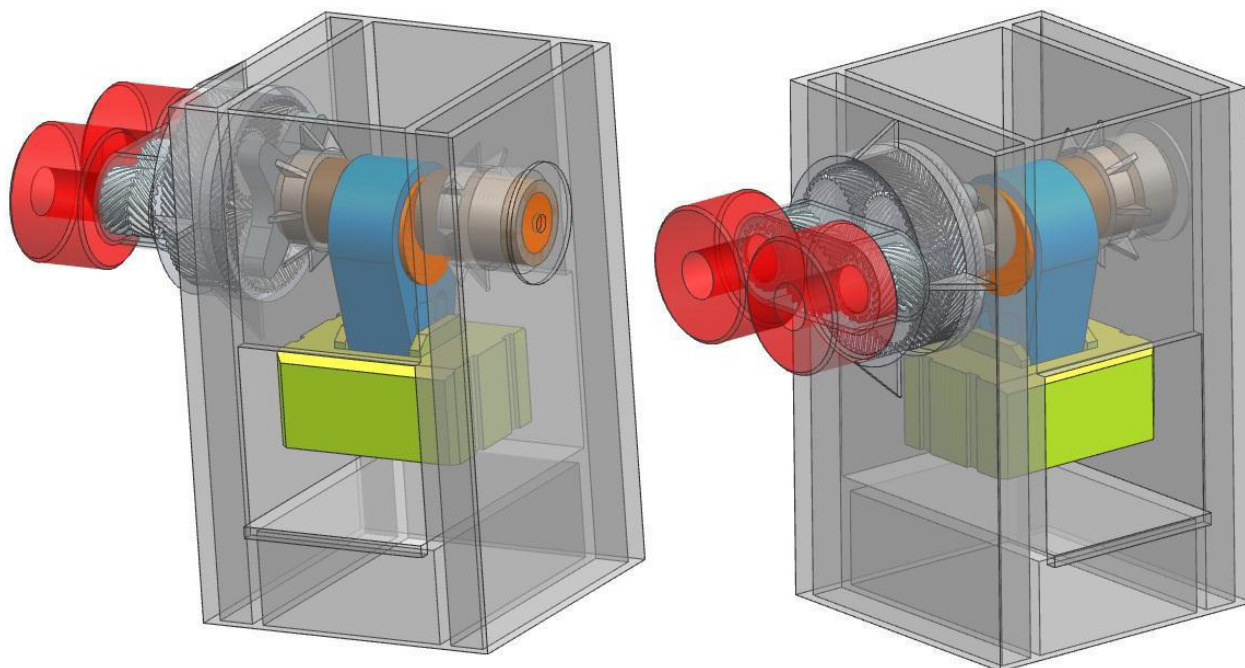
$$K = 0,75 [-]$$

-součinitel pro rovnoboké drážkování (evolventní: $K=0,5$ [-])

$$i = 10 [-]$$

-počet drážek

10.2 Mechanický lis s přímým pohonem



Obr. 53 Sestava navrženého lisu s přímým pohonem

11 Závěr

V této bakalářské práci jsem se zabýval problematikou návrhu a konstrukce mechanických lisů s přímým pohonem. Z počátku bylo nutné vypracovat rešerši na toto téma, abych hlouběji porozuměl všem aspektům, ke kterým se musí u konstrukce s přímým pohonem přihlížet. Po zjištění nároků kladených na součásti v lisu jsem vyhledal vyhovující komponenty a zjistil jejich dostupnost na trhu od různých dodavatelů. Společnosti zabývající se výrobou mechanických lisů s přímým pohonem tyto lisy dodávají výhradně zakázkově podle konkrétních nároků zákazníka. Dále se v práci ze zadaných hodnot vypočítal konkrétní výkon protékající lisem při zatížení jmenovitou silou a díky znalosti tohoto výkonu se mohl zvolit dostatečný elektromotor pro pohon a zároveň nic nebránilo návrhu převodového mechanismu. Pro výpočet velikosti rozměrů excentrové hřídele jsem zvolil možnost využít výpočtářský software společnosti Siemens NX Nastran. Na závěr práce jsem ze znalosti rozměrů vypočítaných i zvolených komponent vypracoval nejpřijatelnější konstrukční řešení sestavení mechanického lisu.

12 Literatura

12.1 Knižní publikace:

1. **RUDOLF, B., KOPECKÝ, M.** *Tvářecí stroje: základy stavby a využití*. Praha : SNTL, 1985.
2. **STANĚK, J.** *Základy stavby výrobních strojů: tvářecí stroje*. Plzeň : ISBN, 2001.

12.2 Internetové zdroje:

3. **engineering, P.E. Control.** [Citace: 20. 11. 2013.]
<http://www.controlengcesko.com/hlavni-menu/artykuly/artykul/article/bezkartacove-momentove-motory-s-permanentnimi-magnety/>.
4. **Aveko.** [Citace: 29. 3. 2014.]
http://www.aveko.com/fileadmin/user_upload/aktuality/MomentovyMotor.JPG.
5. **T-1FW3, Siemens.** [Citace: 24. 11. 2013.]
<http://stest1.etnetera.cz/ad/current/index.php?vw=0&ctxnh=19880af828&ctxp=home>.
6. **T-1FW6, Siemens.** [Citace: 24. 11. 2013.]
<http://stest1.etnetera.cz/ad/current/index.php?vw=0&ctxnh=b59df113a7&ctxp=home>.
7. **HT-direct, Siemens.** [Online] [Citace: 24. 11. 2013.]
<http://stest1.etnetera.cz/ad/current/index.php?vw=0&ctxnh=af05609173&ctxp=home>.
8. **VUES.** [Online] [Citace: 25. 11. 2013.]
http://www.vues.cz/cs/produkty/elektromotory/momentove_motory_rady_ROL.
9. **TF, Lin-tech.** [Online] [Citace: 25. 11. 2013.] <http://lin-tech.hennlich.cz/produkty/motory-a-pohony-torzni-motory-3044/torzni-motory-serie-tf.html>.
10. **Baumuller.** [Online] [Citace: 25. 11. 2013.]
<http://www.baumuller.sk/index.php?page=diskove-motory-DST>.
11. **global, IHS.** [Online] [Citace: 2. 4. 2014.]
http://images.books24x7.com/bookimages/id_17889/figu352_2.jpg.
12. **Siemens, Flender.** [Online] [Citace: 14. 11. 2013.]
<http://stest1.etnetera.cz/ad/current/?ctxnh=c9707e8b0f&ctxp=home>.
13. **Bonfiglioli.** [Online] [Citace: 14. 11. 2013.] http://opis.cz/prevodovky-bonfiglioli/300pres_cz.html.
14. **IHS.** [Online] [Citace: 20. 11. 2013.]
<https://translate.google.cz/?hl=cs&tab=wT#auto/cs/the%20world%20market%20for%20linear%20and%20torque%20motors%0Agrowth%0Arevenue%0Aapril>.
15. **mmspektrum.** [Online] [Citace: 1. 10. 2013.]
<http://www.mmspektrum.com/clanek/prime-pohony-zacinaji-nabirat-obratky.html>.
16. **Aida.** [Online] [Citace: 26. 11. 2013.] http://www.aida-global.com/servopro/#1_2.
17. **Schuler.** [Online] [Citace: 5. 12. 2013.]
http://www.schulergroup.com/major/us/technologien/forging_technology/index.html.
18. **3POL.** [Online] [Citace: 19. 11. 2013.] <http://3pol.cz/470-jak-ulozit-energii>.

19. **odbornecasopisy.cz.** [Online] [Citace: 20. 11 2013.]
[http://www.odbornecasopisy.cz/index.php?id_document=42869.](http://www.odbornecasopisy.cz/index.php?id_document=42869)

20. **Energy-without-carbon.** [Online] [Citace: 19. 11 2013.] [http://www.energy-without-carbon.org/Flywheel.](http://www.energy-without-carbon.org/Flywheel)

21. **Jcwinnie.** [Online] [Citace: 13. 3 2014.]
[http://i160.photobucket.com/albums/t175/jcwinni/scaniahyb2.png.](http://i160.photobucket.com/albums/t175/jcwinni/scaniahyb2.png)

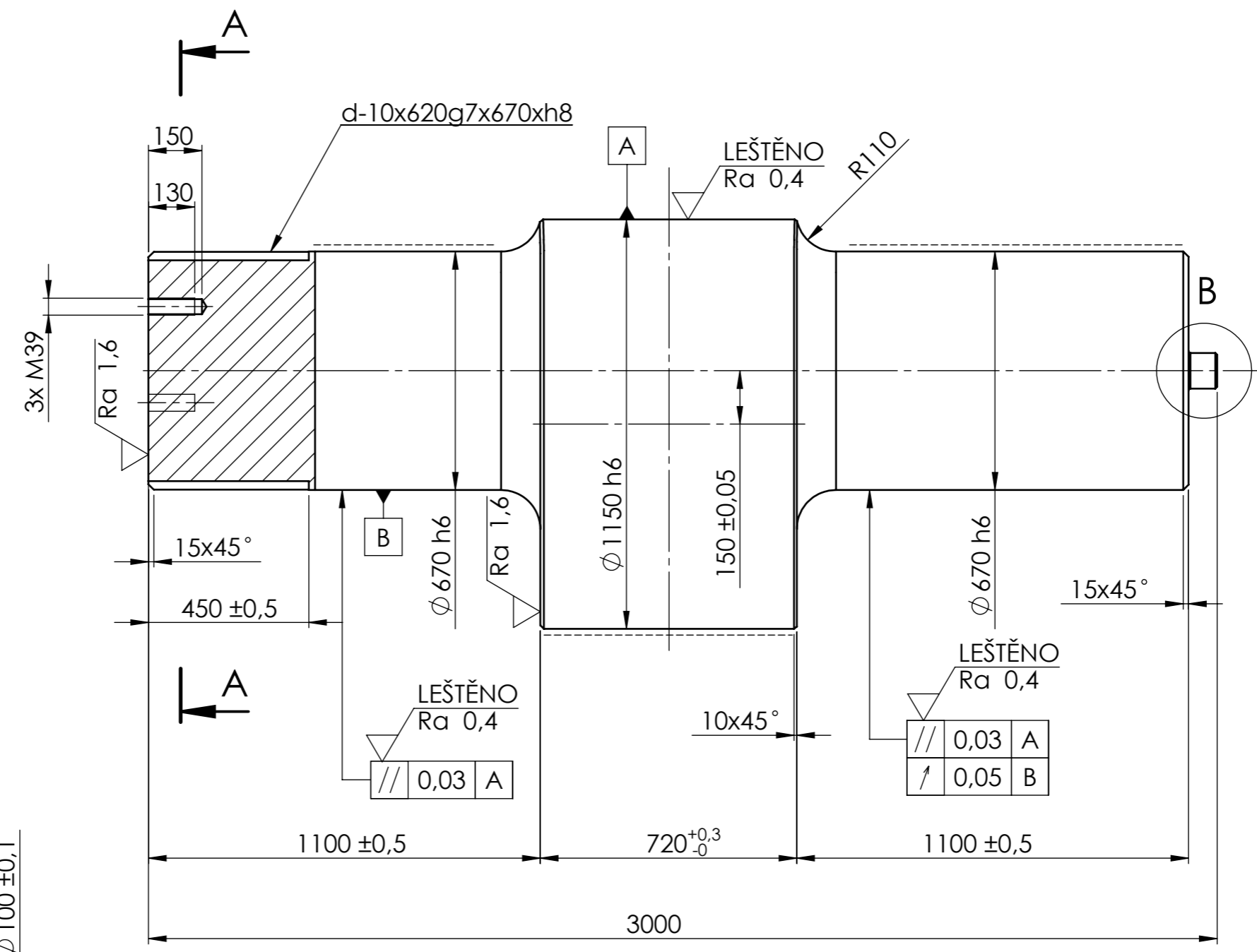
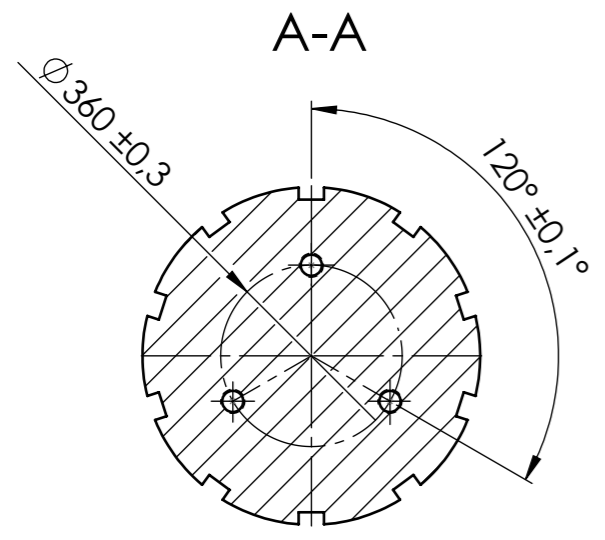
22. **Blechnet.** [Online] [Citace: 5. 4 2014.]
[http://www.blechnet.com/themen/umformen/articles/375793/.](http://www.blechnet.com/themen/umformen/articles/375793/)

13 Přílohy

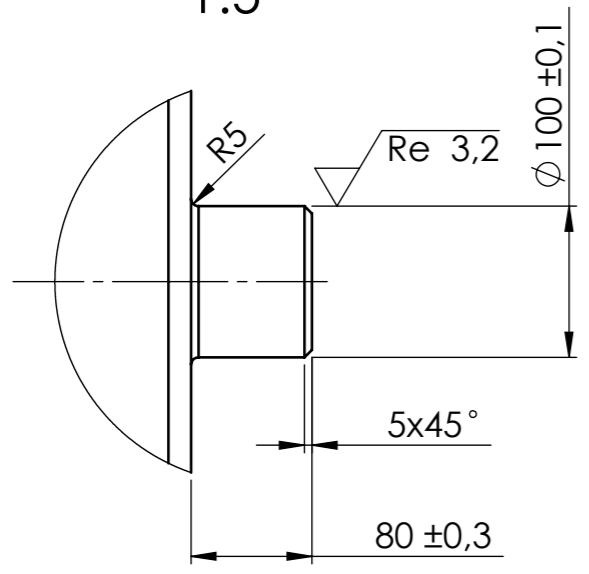
Výrobní výkres excentrové hřídele č.v.BP-13/14-S13B0049P

14 Seznam obrázků

OBR. 1 SCHÉMA POHONU LISU S AKUMULÁTOREM	4
OBR. 2 VÝKONOVÁ CHARAKTERISTIKA SETRVAČNÍKU	4
OBR. 3 SCHÉMA LISU BEZ AKUMULÁTORU	5
OBR. 4 NÁHLED DRUHŮ SESTAVENÍ LISŮ A) KLIKOVÝ MECHANIZMUS B) KOLENOVÝ MECHANIZMUS	6
OBR. 5 ZOBRAZENÍ PRŮBĚHU TVÁŘECÍ SÍLY PŘI KONSTANTNÍM MOMENTU V ZÁVISLOSTI NA ZDVIHU $F(H)$, JMENOVITÉ SÍLY F , A PLOCHY OBEČNĚ PŘEDSTAVUJÍCÍ PŘETVÁRNOU PRÁCI MECHANICKÉHO LISU	7
OBR. 6 SCHÉMA KLIKOVÉHO MECHANIZMU S ODPOROVOU SILOU TVÁŘENÉHO MATERIÁLU PŮSOBÍCÍ NA OJNICI A MOMENTEM VYVOZENÝM MOTOREM	7
OBR. 7 ZÁVISLOST DRÁHY VÝSTUPNÍHO ČLENU KLIKOVÉHO MECHANIZMU NA ÚHLU NATOČENÍ KLIKY	8
OBR. 8 PRŮBĚH RYCHLOSTI A ZRYCHLENÍ	9
OBR. 9 OBEČNÝ PRŮBĚH SÍLY F , MOMENTU M , VÝKONU P NA LISU S KONSTANTNÍ ÚHLOVOU RYCHLOSTÍ V ZÁVISLOSTI NA ZDVIHU H ...	9
OBR. 10 KINEMATICKÉ SCHÉMA KLIKOVÉHO MECHANIZMU	10
OBR. 11 OTEVŘENÝ TYP STOJANU „C“ NA LEVÉ STRANĚ A „CC“ NA PRAVÉ	10
OBR. 12 KLIKOVÉ KOLO OBR. 13 EXCENTROVÁ HŘÍDEL	11
OBR. 14 OJNICE A BERAN	11
[4]OBR. 15 ŘEZ MOMENTOVÝM (TORQUE) MOTOREM	12
OBR. 16 T 1FW3	12
OBR. 17 T 1FW6	13
OBR. 18 T HT-DIRECT	13
OBR. 19 MOTOR TYPU ROL	13
OBR. 20 TORZNÍ MOTOR TF	14
OBR. 21 DST 135 AŽ 315	14
[11]OBR. 22 ŠÍPOVÉ USPOŘÁDÁNÍ ZUBŮ V PŘEVODU	15
OBR. 23 PLANETOVÁ PŘEVODOVKA P-PASTOREK, S-SATELIT, K-VNĚJŠÍ KOLO OBR. 24 SCHÉMA SESTAVENÍ PLANET. PŘEVODU	15
OBR. 25 MOŽNOSTI USPOŘÁDÁNÍ PLANETOVÝCH PŘEVODŮ A) S JEDNOU B) SE DVĚMA C) SE TŘEMI PLANETAMI	16
OBR. 26	16
OBR. 27	16
OBR. 28 GRAF ODHADOVANÉ VÝKONNOSTI PŘI INVESTOVÁNÍ DO VÝROBY PŘÍMÝCH POHONŮ A KOMPONENT DO ROKU 2016	17
OBR. 29 AIDA SERVO-LIS	18
OBR. 30 MSD 250 SERVOPRESS SE SILOU 2,5MN	18
OBR. 31 PŘIPOJENÍ ČTYŘ MOTORŮ SERVO DRIVE K LISU	18
OBR. 32 DIAGRAM ZÁVISLOSTI ENERGETICKÉ HUSTOTY A NAPÁJECÍ HUSTOTY S ČASOVÝM INTERVALEM DODÁNÍ	19
OBR. 33 VYSOKOOTÁČKOVÝ SETRVAČNÍK	20
OBR. 34 OBEČNÉ ROZLOŽENÍ SIL V LISU	21
OBR. 35	21
OBR. 36	22
OBR. 37 OBEČNÉ ZOBRAZENÍ UŽITEČNÉ PRÁCE	22
OBR. 38 ZÁKLADNÍ INFORMACE O MOTORU TF62.60 Z KATALOGU VÝROBCE	23
OBR. 39 KONSTRUKČNÍ ROZMĚRY MOTORU TF62.60	23
OBR. 40 PRŮBĚH MOMENTŮ A VÝKONŮ MOTORU KDE KŘIVKY S1 OZNAČUJE HODNOTY PRO TRVALE ZATÍŽENÝ CHOD A KŘIVKY S3 PRO CYKLICKÉ KRÁTKODOBÉ ZATÍŽENÍ STROJE	24
OBR. 41 KONSTRUKČNÍ HODNOTY PLANETOVÉHO PŘEVODU V SOUSTAVĚ SI	24
OBR. 42 KONSTRUKČNÍ HODNOTY JEDNOSTUPŇOVÉHO PŘEVODU V SOUSTAVĚ SI	24
OBR. 43 USPOŘÁDÁNÍ S PLANETOVÝM PŘEVODEM A OBR. 44 USPOŘÁDÁNÍ S PLANETOVÝM PŘEVODEM B	25
OBR. 45 USPOŘÁDÁNÍ S ŘEMENOVÝM PŘEVODEM OBR. 46 USPOŘÁDÁNÍ S OZUBENÝM PŘEVODEM	25
OBR. 47 SCHÉMATICKÝ PRŮBĚH VÝKONŮ V LISU	26
[21]OBR. 48 SUPERKAPACITORY	26
OBR. 49 MODEL EXCENTROVÉ HŘÍDELE	27
OBR. 50 ZJEDNODUŠENÝ, ZASÍŤOVANÝ A ZATÍŽENÝ MODEL EXCENTROVÉ HŘÍDELE	28
OBR. 51 VÝSLEDNÉ ROZLOŽENÍ NAPĚTÍ V MODELU	28
OBR. 52 DETAIL VÝSLEDNÉHO ROZLOŽENÍ NAPĚTÍ V MODELU	29
OBR. 53 SESTAVA NAVRŽENÉHO LISU S PŘÍMÝM POHONEM	30



DETAIL-B
1:5



KALENO NA HRC 65 ± 3

$\sqrt{Ra\ 6,3}$ (✓)

MATERIÁL	12060.30	MĚŘÍTKO	1:15	HMOTNOST (kg)	12002	FORMÁT	A3	TOLEROVÁNÍ	ISO 8015 ANO
POLOTOVAR								PŘESNOST	ISO 2768-mK
								PROMÍTÁNÍ	
FAKULTA STROJNÍ ZÁPADOČESKÉ UNIVERZITY V PLZNI	KRESLIL PETR KURIL	NÁZEV EXCENTROVÁ HŘÍDEL							
	DATUM 25.6.2014	ČÍSLO VÝKRESU BP-13/14-S13B0049P							
KKS KATEDRA KONSTRUOVÁNÍ STROJŮ	SCHVÁLIL								
	DRUH DOKUMENTU VÝROBNÍ VÝKRES								